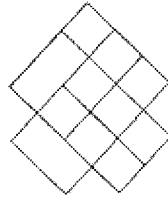


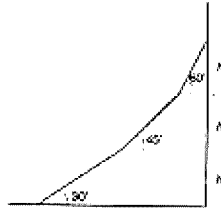
भाग A

1. निरमल हवा में जलती हुई अगरबत्ती की सुगंध प्रेषक द्वारा सबसे जल्दी पहचानी जा सकती है जब यह प्रयोग किया जाता है।
1. न्यून तुंगता व उच्च तापमान में /
 2. उच्च तुंगता व न्यून तापमान में /
 3. न्यून तुंगता व न्यून तापमान में /
 4. उच्च तुंगता व उच्च तापमान में /
2. चित्र में कितने वर्ग हैं ?



1. 9
2. 14
3. 15
4. 17

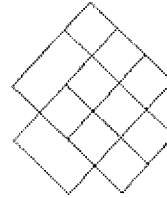
3. एक पहाड़ी रास्ता तीन अलग-अलग ढलान वाले भागों में बँटा है, जैसे दर्शाया गया है। पूरी चढ़ाई का औसत ढलान m क्या है ?



1. 1
 2. $(1/3) < m < (1/2)$
 3. $1 < m < \sqrt{3}$
 4. $(1/\sqrt{3}) < m < 1$
4. तापमान को स्थिर रखते हुए एक संतृप्त शक्कर का घोल बनाया जाता है। इस प्रक्रिया में निम्न में से कौनसा चित्र शक्कर की सांद्रता व कुल विलयन मये शक्कर की द्रव्यमान के बीच के रिश्ते को सही दर्शाता है ?

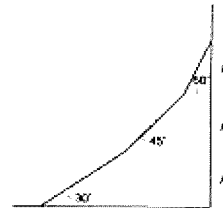
PART A

1. In still air, fragrance of a burning incense stick will be smelt by an observer quickest when the experiment is carried out at
1. low altitude and high air temperature.
 2. high altitude and low air temperature.
 3. low altitude and low air temperature.
 4. high altitude and high air temperature.
2. How many squares are there in this figure?

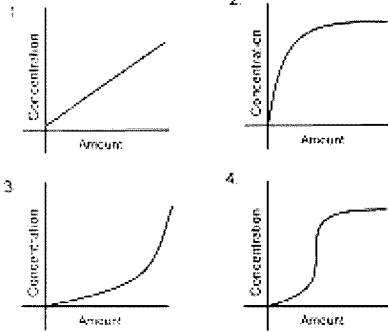


1. 9
2. 14
3. 15
4. 17

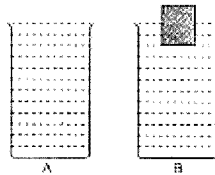
3. A mountain road has 3 sections of different slopes as shown. What is the average slope m of the entire climb?



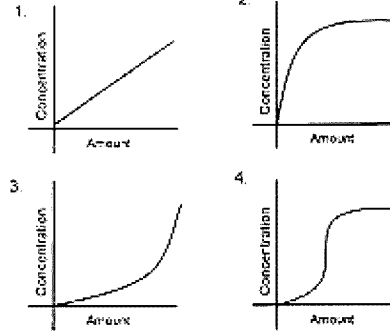
1. 1
 2. $(1/3) < m < (1/2)$
 3. $1 < m < \sqrt{3}$
 4. $(1/\sqrt{3}) < m < 1$
4. Which of the following graphs shows the concentration of a sugar solution as a function of the cumulative amount of sugar added in the process of preparing a saturated solution (the temperature remaining constant)?



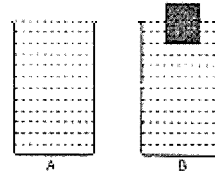
5. एकसमान अणुसंख्या घनत्व पर बिना ऊँचाई के बालू के ढेर पड़े हैं। दो वादविद्यकतः चुने दैरों के द्रव्यमानों का अनुपात
1. उनकी ऊँचाइयों के अनुपात के समान होगा।
 2. उनकी ऊँचाइयों के वर्गों के अनुपात के समान होगा।
 3. उनकी ऊँचाइयों के घनों के अनुपात के समान होगा।
 4. उनकी ऊँचाइयों के घन मूलों के अनुपात से होगा।
6. आयतन V के दो एकरूप बर्तनों में एक खाली व दूसरे में w द्रव्यमान वाला एक लकड़ी का क़ुदा है। दोनों बर्तनों में पूरा-पूरा पानी भराया जाता है। दोनों व्यवस्थाएँ बिना A व B में दर्शाई गयी हैं। अगर पानी की घनता ρ है व गुरुत्वाकर्षणीय त्वरण g है तो



1. A व B समान वजन के हैं।
 2. A, B से w अधिक वजनदार है।
 3. A, B से $(V\rho g - w)$ अधिक वजनदार है।
 4. B, A से $(V\rho g - w)$ अधिक वजनदार है।
7. अगर पिता का रक्तसर्ग O है व माता का AB, उनके बच्चों का रक्तसर्ग क्या-क्या हो सकते हैं?
1. O, AB, A
 2. A, B
 3. A, O
 4. B, AB



5. There are sand-piles which are geometrically similar but of different heights. The ratio of the masses of the sand comprising two randomly chosen piles will be equal to the ratio of the
1. pile heights.
 2. squares of the pile heights.
 3. cubes of the pile heights.
 4. cube-roots of the pile heights.
6. There are two identical vessels of volume V each, one empty, and the other containing a block of wood of weight w . The vessels are then filled with water up to the brim. The two arrangements are shown as A and B in the figure. If the density of water is ρ and g is the acceleration due to gravity, then



1. A and B have equal weights.
 2. A is heavier than B by an amount w .
 3. A is heavier than B by an amount $V\rho g - w$.
 4. B is heavier than A by an amount $V\rho g - w$.
7. If the father has blood group O and the mother has blood group AB, what are the possible blood groups of their children?
1. O, AB, A
 2. A, B
 3. A, O
 4. B, AB

8. समान विभवदांतर से त्वरित ^{32}P व ^{32}S के नाभिक, एक अचर अनुप्रस्थ ध्रुवकीय क्षेत्र में प्रवेश करते हैं (P के लिए $Z=15$ व S के लिए $Z=16$)। जब वे चुम्बकीय क्षेत्र से बाहर आते हैं, तो

1. दोनों नाभिक बिना किसी विक्षेप के निकलते हैं।
2. ^{32}P का विक्षेप ^{32}S के विक्षेप से कम है।
3. ^{32}P का विक्षेप ^{32}S के विक्षेप से अधिक है।
4. दोनों का विक्षेप समान रहता है।

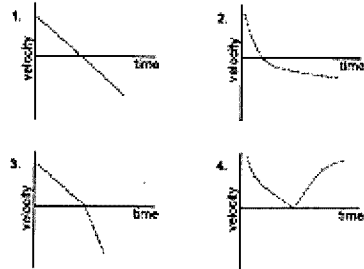
9. जेट वायुयान में एक पर्यटक जो बलगम चकाता है, उसको जहाज के जमीन पर उतरते समय कान में दर्द नहीं होता, पर दूसरा जो बलगम नहीं चकाता, उसको कान में दर्द होता है। इसका कारण यह हो सकता है कि

1. बलगम दर्दनाशक है।
2. बलगम का चबाना कानों के दोनों तरफ के दाब का सामंभारण करता है।
3. बलगम के चबाने से कान का परदा नन्ध होता है।
4. बलगम का चबाना दर्द से ध्यान हटाता है।

10. हर पूर्णिमा में चंद्रग्रहण इसलिये देखा नहीं जाता कि

1. सूर्य का स्थान सही पूर्णिमाओं में अनुकूल नहीं होता।
2. चन्द्र व पृथ्वी के परिक्रमा पथ के तल एक दूसरे से कम कोणिक अंतर में हैं।
3. पृथ्वी की आकृति परिपूर्ण गोला नहीं है।
4. चन्द्र अपनी एक ही गोलार्ध से प्रतिबिम्बित करता है।

11. एक लड़का एक पत्थर को किसी एक शून्यिक वेग के साथ ऊर्ध्वोपर दिशा में फेंकता है। अगर गुरुत्वाकर्षणीय त्वरण को अचर व एकरूप माना जाये, तो निम्न में से कौन चित्र उसके समय के साथ होने वाले गति परिवर्तन को सही दर्शाता है ?



12. एक ही आकृति, पर अलग-अलग (ρ व 2ρ) घनता वाले दो लटकन एक सख्त एकरूप उण्डे के दोनों छोरों से एक समान लटकाने जाते हैं। जैसे चित्र में दर्शाया गया है। जब उण्डा आलम्ब पर संतुलित रहता है d व d' के बीच का रिश्ता है :

8. Nuclei of ^{32}P and ^{32}S , accelerated through the same potential difference enter a uniform, transverse magnetic field ($Z=15$ for P and $Z=16$ for S). As they emerge from the magnetic field

1. both nuclei emerge undeflected.
2. ^{32}P is deflected less than ^{32}S .
3. ^{32}P is deflected more than ^{32}S .
4. both are equally deflected.

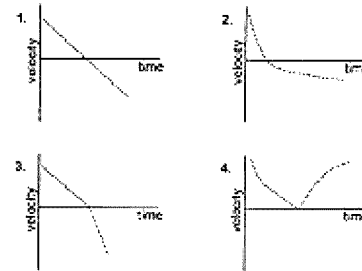
9. A person chewing a bubble gum did not experience ear pain in a jet plane while landing whereas another person not chewing a gum had ear pain. The reason could be

1. chewing gum is a pain killer
2. chewing equilibrates pressure on both sides of the ear drum
3. chewing gum closes the ear drum
4. chewing distracts the person

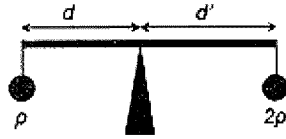
10. The reason why a lunar eclipse does not occur at every full moon is

1. the position of the sun is not favourable at all full moons.
2. the orbital planes of the moon and that of the earth are inclined to each other by a small angle.
3. the shape of the earth is not a perfect sphere.
4. the moon reflects only from one hemisphere.

11. A boy throws a stone vertically upwards with a certain initial velocity. Which of the following graphs depicts the velocity as a function of time, if the acceleration due to gravity is assumed to be uniform and constant?



12. A rigid uniform bar of a certain mass has two bobs of the same size, but with different densities ρ and 2ρ suspended identically from its ends.

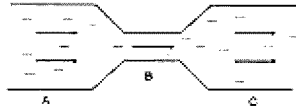


1. $2d = d'$
2. $d > 2d'$
3. $d = 2d'$
4. $d < 2d'$

13. बिन्दु A व A' भूकक्ष रेखा के ऊपर 0° व 90° पू दीर्घांश में क्रमशः स्थित हैं। दो और बिन्दु B व B' जन्ती दीर्घांशों में क्रमशः, पर 60° द अक्षांश पर स्थित हैं। अक्षरेखाओं के ऊपर से A व A' बीच की दूरी, B व B' के बीच की दूरी से इस प्रकार सम्बन्धित है।

1. $AA' = BB'$
2. $AA' = 2 BB'$
3. $AA' = (\sqrt{3}) BB'$
4. $AA' = (\sqrt{2}) BB'$

14.



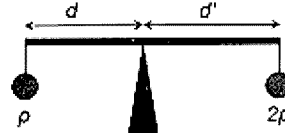
जैसे दर्शाया गया है, एक नली में पानी बह रहा है। A व C के अनुप्रस्थ क्षेत्रफल समान, व B के अनुप्रस्थ क्षेत्रफल से अधिक हैं। जब बहाव अक्षुब्ध है, तब B की गित्तियों के ऊपर पड़नेवाला दबाव

1. A व C की तुलना में कम है।
2. A व C की तुलना में अधिक है।
3. A व C पर बहनेवाले दाबों के समान हैं।
4. A की तुलना में अधिक, पर C की तुलना में कम।

15. दोनों सूचियों का सही जोड़ा बनायें :

कच्चा माल	उत्पाद
A. चूना पत्थर	a. पोरसिलिन
B. गिप्सम	b. काँच
C. क्लिंकवा बालू	c. प्लास्टर ऑफ पेरिस
D. गुत्तिका	d. सिमेंट

- | | A | B | C | D |
|----|---|---|---|---|
| 1. | a | b | c | d |
| 2. | d | e | b | a |
| 3. | a | c | d | b |
| 4. | d | a | c | b |



When the bar is level on a fulcrum as shown in the figure, d and d' are related by

1. $2d = d'$
2. $d > 2d'$
3. $d = 2d'$
4. $d < 2d'$

13. There are two points A and A' on the equator at longitudes 0° and 90° E, and two other points B and B' on the same longitudes, respectively, but at latitude 60° S. The distances (along the latitudes) between the points A, A' and B, B' are related by

1. $AA' = BB'$
2. $AA' = 2 BB'$
3. $AA' = (\sqrt{3}) BB'$
4. $AA' = (\sqrt{2}) BB'$

14.



Water is flowing through a tube as shown. The cross-sectional areas at A and C are equal, and greater than the cross-sectional area at B. If the flow is steady, then the pressure on the walls at B is

1. less than that at A and that at C.
2. more than that at A and that at C.
3. same as that at A and that at C.
4. more than that at A but less than that at C.

15. Match the two lists

Raw Material	Product
A. Limestone	a. Porcelain
B. Gypsum	b. Glass
C. Silica sand	c. Plaster of Paris
D. Clay	d. Cement

- | | A | B | C | D |
|----|---|---|---|---|
| 1. | a | b | c | d |
| 2. | d | e | b | a |
| 3. | a | c | d | b |
| 4. | d | a | c | b |

16. करीब ~60,000 साल से पुराने कार्बनिक पदार्थों की आयु निर्धारण हेतु ^{14}C प्रणाली का प्रयोग नहीं किया जाता, क्योंकि

1. ऐसे पदार्थों में कार्बन बिल्कुल ही पाया जाता है।
2. ऐसे पदार्थ अपने बनावट के पश्चात ^{14}C का समावेश करते हैं।
3. उस समय ^{14}C का उत्पादन नहीं होता था।
4. नमूने का अधिकतम ^{14}C विघटित हो चुका होगा।

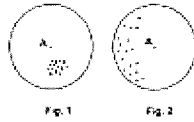
17. एक भूकंपनापी P तरंग को अंकित करने के 60 सेकण्ड बाद S तरंग को अंकित करता है। अगर P व S तरंगों की गतियों क्रमशः 7 कि० मी० प्रति से० व 6 कि० मी० प्रति से० हैं, तो भूकंप के केंद्र की भूकंपनापी से दूरी है :

1. 2520 कि० मी०
2. 42 कि० मी०
3. 7070 कि० मी०
4. 72 कि० मी०

18. रेडियोधर्मी समस्थानिक P के विघटन से स्थिर पुत्री समस्थानिक D बनती है। दो अर्धायु के बाद P व D की अनुसंख्याओं का अनुपात होगा :

1. 1/4
2. 3/4
3. 3
4. 2

19. दो समरूप उपकरणों से मापे गये आंकड़े निम्नरूप चित्र में दर्शाये गये हैं। चित्रों में बिन्दु A सही मूल्य को दर्शाता है। मापनों की शुद्धता का सही विवरण निम्न में से किस कथन में मिलता है ?



1. चित्र 1 : अच्छी यथार्थता व अच्छी परिशुद्धि
चित्र 2 : अच्छी यथार्थता व अच्छी परिशुद्धि
2. चित्र 1 : अल्प यथार्थता व अल्प परिशुद्धि
चित्र 2 : अच्छी यथार्थता व अल्प परिशुद्धि
3. चित्र 1 : अल्प यथार्थता व अच्छी परिशुद्धि
चित्र 2 : अल्प यथार्थता व अल्प परिशुद्धि
4. चित्र 1 : अल्प यथार्थता व अल्प परिशुद्धि
चित्र 2 : अल्प यथार्थता व अच्छी परिशुद्धि

20. उच्च तुंगता व समुद्र तल दोनों में यद्यपि CO_2 की मात्रा समान है, उच्च तुंगता की ओर का समुद्र तल पर उगये जाने वाले पौधों में प्रकाश संश्लेषण गति अधिक इत्तलियं पायी जाती है, कि

1. समुद्रतल पर प्रकाश की तीव्रता अधिक है।
2. उच्च तुंगता में तापमान कम होता है।
3. समुद्रतल पर वायुमण्डलीय दबाव अधिक है।
4. समुद्रतल पर अपेक्षित आर्द्रता अधिक है।

16. The ^{14}C dating method is not usually used for dating organic substances older than ~60,000 years, because

1. such objects rarely contain carbon.
2. such objects accumulated ^{14}C after their formation.
3. in those times there was no production of ^{14}C .
4. most of the ^{14}C in the sample would have decayed.

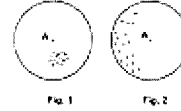
17. A seismograph receives a S-wave 60 s after it receives the P-wave. If the velocities of P- and S-waves are 7 km/s and 6 km/s respectively, then the distance of the seismic focus from the seismograph is

1. 2520 km
2. 42 km
3. 7070 km
4. 72 km

18. The decay of a radioactive isotope P produces a stable daughter isotope D. The ratio of the number of atoms of D to the number of atoms of P after 2 half lives would be

1. 1/4
2. 3/4
3. 3
4. 2

19. The scatter plots represent the values measured by two similar instruments. Point A in the figures represents the true value. Which of the following is a correct description of the quality of these measurements?



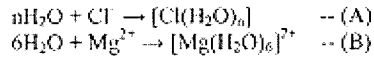
1. Fig. 1 : good accuracy, good precision
Fig. 2 : good accuracy, good precision
2. Fig. 1 : poor accuracy, poor precision
Fig. 2 : good accuracy, poor precision
3. Fig. 1 : poor accuracy, good precision
Fig. 2 : poor accuracy, poor precision
4. Fig. 1 : poor accuracy, poor precision
Fig. 2 : poor accuracy, good precision

20. Even though the concentration of CO_2 is the same at sea level and at high altitude, the photosynthetic rate is higher in a plant grown at sea level than in a plant (of the same species) grown at high altitude. The reason for this is

1. light intensity is more at sea level.
2. temperature is lower at higher altitude.
3. atmospheric pressure is higher at sea level.
4. relative humidity is higher at sea level.

भाग B

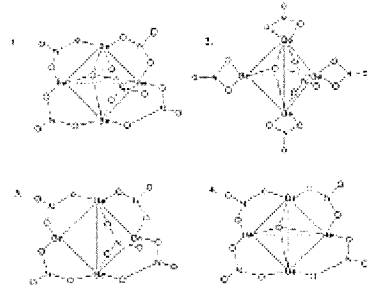
21. अभिक्रियाओं (A) तथा (B),



में जल का आचरण है :

1. दोनों (A) तथा (B) में अम्ल का ।
 2. (A) में एक अम्ल का तथा (B) में एक क्षार का ।
 3. (A) में एक क्षार का तथा (B) में एक अम्ल का ।
 4. दोनों (A) तथा (B) में क्षार का ।
22. Si, P, S तथा Cl में d कक्षकों का विस्तार जिला क्रम का अनुसरण करता है, वह है ।
1. $\text{Cl} > \text{S} > \text{P} > \text{Si}$
 2. $\text{Cl} > \text{P} > \text{S} > \text{Si}$
 3. $\text{P} > \text{S} > \text{Si} > \text{Cl}$
 4. $\text{Si} > \text{P} > \text{S} > \text{Cl}$

23. शारीय बेरिलियम नाइट्रेट की सही संरचना है ।

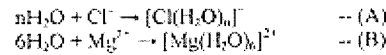


24. I_3^- में एकाकी इलेक्ट्रॉन युग्मों की कुल संख्या है ।

- | | |
|----------|--------|
| 1. शून्य | 2. तीन |
| 3. छः | 4. नौ |
25. $\text{Fe}(\text{CO})_5$ का नांसबौस स्पेक्ट्रम यदि एक चुम्बकीय क्षेत्र की उपस्थिति में अंकित किया जाए तो दो रेखाओं का मूल स्पेक्ट्रम परिवर्तित हो जाता है एक ऐसे स्पेक्ट्रम में जिसमें
1. तीन रेखाएँ होती हैं ।
 2. चार रेखाएँ होती हैं ।
 3. पाँच रेखाएँ होती हैं ।
 4. छः रेखाएँ होती हैं ।

PART B

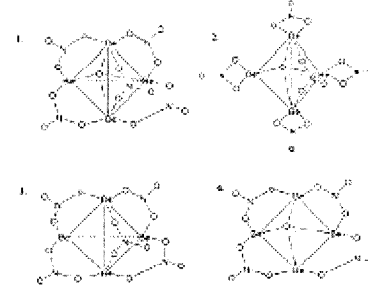
21. In the reactions (A) and (B),



water behaves as

1. an acid in both (A) and (B)
 2. an acid in (A) and a base in (B)
 3. a base in (A) and an acid in (B)
 4. a base in both (A) and (B)
22. The size of the d orbitals in Si, P, S and Cl follows the order
1. $\text{Cl} > \text{S} > \text{P} > \text{Si}$
 2. $\text{Cl} > \text{P} > \text{S} > \text{Si}$
 3. $\text{P} > \text{S} > \text{Si} > \text{Cl}$
 4. $\text{Si} > \text{P} > \text{S} > \text{Cl}$

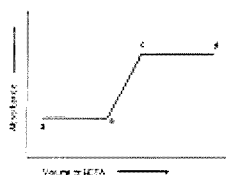
23. The correct structure of basic beryllium nitrate is



24. The total number of lone pairs of electrons in I_3^- is

- | | |
|---------|----------|
| 1. zero | 2. three |
| 3. six | 4. nine |
25. If Mössbauer spectrum of $\text{Fe}(\text{CO})_5$ is recorded in the presence of a magnetic field, the original spectrum with two lines changes into the one with
1. three lines
 2. four lines
 3. five lines
 4. six lines

26. Fe^{3+} तथा Cu^{2+} आयनों के मिश्रण को EDTA से अनुपातित करने पर निम्नलिखित स्पेक्ट्रोफोटोमितीय अनुक्रिया प्राप्ता होती है।



सही कथन है।

1. आयतन $ab \equiv [\text{Fe}^{3+}]$ तथा आयतन $cd \equiv [\text{Cu}^{2+}]$
2. आयतन $ab \equiv [\text{Cu}^{2+}]$ तथा आयतन $cd \equiv [\text{Fe}^{3+}]$
3. आयतन $ab \equiv [\text{Fe}^{3+}]$ तथा आयतन $cd \equiv$ अधिक EDTA
4. आयतन $ab \equiv [\text{Cu}^{2+}]$ तथा आयतन $cd \equiv$ अधिक EDTA

27. रेडियो आइसोटोप ^{14}C से, इस के कार्बन-काल निर्धारण उपयोग, में उत्सर्जन होता है-

1. β -कणों का।
2. α -कणों का।
3. γ -किरणों का।
4. पॉजिट्रॉन का।

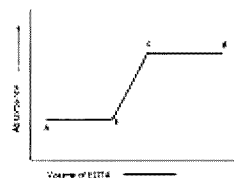
28. DNA की द्वि कुंडलिनी संरचना, जिसमें ऐडनीन (A), थायमीन (T), साइटोसीन (C) ग्वानीन (G), हैं, में उपस्थित यथार्थ आर युग्म *।

1. AG तथा CT
2. AC तथा GT
3. AG तथा AC
4. AT तथा GC

29. आयरन की *met*-हीमोग्लोबिन में आक्सीकरण अवस्था है।

1. तीन
2. दो
3. चार
4. शून्य

26. The spectrophotometric response for the titration of a mixture of Fe^{3+} and Cu^{2+} ions against EDTA is given below.



The correct statement is

1. volume $ab \equiv [\text{Fe}^{3+}]$ and volume $cd \equiv [\text{Cu}^{2+}]$
 2. volume $ab \equiv [\text{Cu}^{2+}]$ and volume $cd \equiv [\text{Fe}^{3+}]$
 3. volume $ab \equiv [\text{Fe}^{3+}]$ and volume $cd \equiv$ excess EDTA
 4. volume $ab \equiv [\text{Cu}^{2+}]$ and volume $cd \equiv$ excess EDTA
27. In 'carbon-dating' application of radioisotopes, ^{14}C emits
1. β -particle
 2. α -particle
 3. γ -radiation
 4. positron
28. The actual base pairs present in the double helical structure of DNA containing adenine (A), thymine (T), cytosine (C) and guanine (G), are
1. AG and CT
 2. AC and GT
 3. AG and AC
 4. AT and GC
29. The oxidation state of iron in *met*-hemoglobin is
1. three
 2. two
 3. four
 4. zero

30. $\text{Ni}(\text{CO})_4$ की लिगण्ड L (L = PMe_3 या $\text{P}(\text{OMe})_3$) से एक अभिक्रिया $\text{Ni}(\text{CO})_3\text{L}$ देती है यह अभिक्रिया

1. सहसंयोजक प्रकार की है ।
2. विघटन प्रकार की है ।
3. विनिमय (I_2) प्रकार की है ।
4. विनिमय (I_1) प्रकार की है ।

31. लिगण्ड के रूप में Cl^-

1. केवल σ -दाता है ।
2. केवल π -दाता है ।
3. σ - तथा π -दाता दोनों है ।
4. एक σ दाता तथा π ग्राही है ।

32. सही d -इलेक्ट्रॉन विन्यास जो स्पिन-ऑर्बिट युग्मन को दर्शाता है, वह है ।

1. $t_{2g}^6 e_g^2$
2. $t_{2g}^6 e_g^0$
3. $t_{2g}^4 e_g^0$
4. $t_{2g}^3 e_g^2$

33. ऐल्किल लीथियम (RLi) अतिकर्मक की संवयन प्रकृति के लिए सही कथन है ।

1. संवयन से कार्बोकार्बोयन नाभिक-सनेहता बढ़ती है ।
2. न्यून इलेक्ट्रॉन प्रकृति वश अवलोकित संवयन होता है ।
3. कार्बोकार्बोयन की नाभिक-सनेहता संवयन पर नहीं निर्भर करती है ।
4. संवयन का परिमाण ध्रुवीय दाता विलायकों में सर्वाधिक होता है ।

34. अभिक्रिया $\text{trans}-[\text{IrCl}(\text{CO})(\text{PPh}_3)_2] + \text{Cl}_2 \rightarrow \text{trans}-[\text{IrCl}_3(\text{CO})(\text{PPh}_3)_2]$, के लिये सही पर्यवेक्षण है

1. ν_{CO} (उत्पाद) $>$ ν_{CO} (अभिकारक)
2. ν_{CO} (उत्पाद) $<$ ν_{CO} (अभिकारक)
3. ν_{CO} (उत्पाद) $=$ ν_{CO} (अभिकारक)
4. ν_{CO} (उत्पाद) $=$ ν_{CO} (मुक्त CO)

30. The reactions of $\text{Ni}(\text{CO})_4$ with the ligand L (L = PMe_3 or $\text{P}(\text{OMe})_3$) yields $\text{Ni}(\text{CO})_3\text{L}$. The reaction is

1. associative
2. dissociative
3. interchange (I_2)
4. interchange (I_1)

31. As a ligand Cl^- is

1. only a σ -donor
2. only a π -donor
3. both a σ -donor and a π -donor
4. a σ -donor and a π -acceptor

32. The correct d -electron configuration showing spin-orbit coupling is

1. $t_{2g}^6 e_g^2$
2. $t_{2g}^6 e_g^0$
3. $t_{2g}^4 e_g^0$
4. $t_{2g}^3 e_g^2$

33. The correct statement for the aggregating nature of alkyl lithium (RLi) reagent is

1. the carbanion nucleophilicity increases with aggregation.
2. the observed aggregation arises from its electron deficient nature.
3. carbanion nucleophilicity does not depend on aggregation.
4. the extent of aggregation is maximum in polar aprotic solvents.

34. For the reaction, $\text{trans}-[\text{IrCl}(\text{CO})(\text{PPh}_3)_2] + \text{Cl}_2 \rightarrow \text{trans}-[\text{IrCl}_3(\text{CO})(\text{PPh}_3)_2]$, the correct observation is

1. ν_{CO} (product) $>$ ν_{CO} (reactant)
2. ν_{CO} (product) $<$ ν_{CO} (reactant)
3. ν_{CO} (product) $=$ ν_{CO} (reactant)
4. ν_{CO} (product) $=$ ν_{CO} (free CO)

35. ओलीफिनों पर गुरुत्व परिस्थितियों में नाभिक स्नेही आक्रमण

1. सदा सहज होता है ।
2. ओलीफिनों पर इलेक्ट्रॉन स्नेही आक्रमण की अपेक्षा अधिक सहज होता है ।
3. इलेक्ट्रॉन-धनी ओलीफिनों पर सहज होता है ।
4. के लिए धातु के साथ उपसहसंयोजन द्वारा सक्रियण आवश्यक है ।

36. निम्नलिखित में से प्रबलतम आक्सीकारक कर्मक है ।

1. $[\text{WO}_4]^{2-}$
2. $[\text{CrO}_4]^{2-}$
3. $[\text{MoO}_4]^{2-}$
4. $[\text{ReO}_4]^{-1}$

37. निम्नलिखित में से न्यूनतम क्षारीय है ।

1. $\text{Al}(\text{OH})_3$
2. $\text{La}(\text{OH})_3$
3. $\text{Ce}(\text{OH})_3$
4. $\text{Lu}(\text{OH})_3$

38. एक संकारक A तथा इसके संलग्न A^\dagger के लिए असत्य कथन है ।

1. $A A^\dagger$ हर्मिटी है ।
2. $A A^\dagger + A^\dagger A$ हर्मिटी है ।
3. $A + A^\dagger$ हर्मिटी है ।
4. $A - A^\dagger$ हर्मिटी है ।

39. नाभिकीय आवेश Z, के हाइड्रोजन जैसे परमाणु के लिए, मुख्य क्वांटम संख्या 'n' वाले आर्थिटल की ऊर्जा जिस संबंध का अनुसरण करती है, वह है ।

1. $E_n \propto n^2 Z^2$
2. $E_n \propto -\frac{Z^2}{n}$
3. $E_n \propto -\frac{Z}{n}$
4. $E_n \propto -\frac{Z^2}{n^2}$

40. हाइड्रोजन परमाणु की 1s अवस्था में विन्यास का औसत मान $\langle r \rangle$ है (a_0 है बोर त्रिज्या) ।

1. a_0
2. $1.5 a_0$
3. $0.75 a_0$
4. $0.5 a_0$

35. The nucleophilic attack on olefins under mild conditions -

1. is always facile
2. is more facile than electrophilic attack on olefins
3. is facile for electron-rich olefins
4. requires activation by coordination to metal

36. Among the following the strongest oxidizing agent is

1. $[\text{WO}_4]^{2-}$
2. $[\text{CrO}_4]^{2-}$
3. $[\text{MoO}_4]^{2-}$
4. $[\text{ReO}_4]^{-1}$

37. The least basic among the following is

1. $\text{Al}(\text{OH})_3$
2. $\text{La}(\text{OH})_3$
3. $\text{Ce}(\text{OH})_3$
4. $\text{Lu}(\text{OH})_3$

38. For any operator A and its adjoint A^\dagger , the INCORRECT statement is

1. $A A^\dagger$ is hermitian
2. $A A^\dagger + A^\dagger A$ is hermitian
3. $A + A^\dagger$ is hermitian
4. $A - A^\dagger$ is hermitian

39. For hydrogen-like atom with a nuclear charge Z, the energy of orbital with principal quantum number 'n' follows the relation

1. $E_n \propto n^2 Z^2$
2. $E_n \propto -\frac{Z^2}{n}$
3. $E_n \propto -\frac{Z}{n}$
4. $E_n \propto -\frac{Z^2}{n^2}$

40. The average value of the radius $\langle r \rangle$ in the 1s state of the hydrogen atom is (a_0 is Bohr radius)

1. a_0
2. $1.5 a_0$
3. $0.75 a_0$
4. $0.5 a_0$

41. निम्नांकित में से सही कथन है ।

1. अव्यंजनीय निरूपणों की संख्या सममिति संख्या के वर्ग के समान होती है ।
2. अव्यंजनीय निरूपणों की संख्या सममिति बिन्दु समूह की कोटि के समान होती है ।
3. किसी भी सममिति बिन्दु समूह में अव्यंजनीय निरूपण तब एक आसानी होते हैं ।
4. एक सममिति बिन्दु समूह में पूर्ण सममितीय अव्यंजनीय निरूपण नहीं हो सकते हैं ।

42. एक द्विपरमाणुक अणु AB में $J = 0$ से $J = 1$ अवस्था में घूर्णन संक्रमण की ऊर्जा है 3.9 cm^{-1} । $J = 3$ से $J = 4$ अवस्था के लिए घूर्णन संक्रमण ऊर्जा होगी,

1. 3.9 cm^{-1}
2. 7.8 cm^{-1}
3. 11.7 cm^{-1}
4. 15.6 cm^{-1}

43. सममितीय द्विपरमाणुक अणु के कंपनिक रमन स्पेक्ट्रम के लिए प्रसिद्धी चयनिकरण के अन्तर्गत चरण नियम है ।

1. $\Delta v = 0$ केवल
2. $\Delta v = \pm 1$ केवल
3. $\Delta v = \pm 2$ केवल
4. $\Delta v = 0, \pm 1$

44. ठोस सतह पर गैस अधिशोषण के लिए कितने मुक्त ऊर्जा ताप के बढ़ने के साथ

1. धनात्मक मान से अधिक धनात्मक हो जाती है ।
2. धनात्मक मान से अधिक ऋणात्मक हो जाती है ।
3. ऋणात्मक मान से अधिक धनात्मक हो जाती है ।
4. ऋणात्मक मान से अधिक ऋणात्मक हो जाती है ।

45. एक शुद्ध पदार्थ की वाष्प को ठीक बिन्दु दाब से कम दाब पर ठंडा करते हैं तो वह

1. द्रवित हो जाती है ।
2. पहले द्रवित होती और फिर ठोस में परिवर्तित हो जाती है ।
3. सीधे ठोस हो जाती है ।
4. अपरिवर्तित रहती है ।

41. Among the following, the CORRECT statement is

1. The number of irreducible representations is equal to classes of symmetry operations.
2. The number of irreducible representations is equal to the order of the symmetry point group
3. The irreducible representations contained in any point group are always of one dimension
4. A symmetry point group may not contain a totally symmetric irreducible representation

42. For a diatomic molecule AB, the energy for the rotational transition from $J = 0$ to $J = 1$ state is 3.9 cm^{-1} . The energy for the rotational transition from $J = 3$ to $J = 4$ state would be

1. 3.9 cm^{-1}
2. 7.8 cm^{-1}
3. 11.7 cm^{-1}
4. 15.6 cm^{-1}

43. For the vibrational Raman spectrum of a homonuclear diatomic molecule, the selection rule under harmonic approximation is

1. $\Delta v = 0$ only
2. $\Delta v = \pm 1$ only
3. $\Delta v = \pm 2$ only
4. $\Delta v = 0, \pm 1$

44. With increase in temperature, the Gibbs free energy for the adsorption of a gas on to a solid surface

1. becomes more positive from a positive value
2. becomes more negative from a positive value
3. becomes more positive from a negative value
4. becomes more negative from a negative value

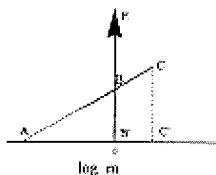
45. The vapour of a pure substance, when cooled under a pressure less than its triple-point pressure,

1. liquefies
2. liquefies first and then solidifies
3. solidifies directly
4. remains unchanged

46. विहित समुदाय में जिन परिमाणों को निश्चित रखा जाता है, वह हैं।

1. N, T तथा P 2. V, T तथा N
3. N, V तथा E 4. μ , V तथा P

47. निम्नलिखित E vs log m (मोललता) आरेख में अर्धसेल के लिए E^0 का सही मान है



1. CC'/AC' 2. AB'
3. BB' 4. CC'

48. परंपरगत सक्रियित संकुल सिद्धान्त की कल्पनाओं में से एक है।

1. अभिकारकों तथा सक्रियित संकुल के मध्य साम्य स्थापित रहता है।
2. अभिकारकों और उत्पादों के मध्य साम्य स्थापित रहता है।
3. उत्पादों तथा सक्रियित संकुल के मध्य साम्य स्थापित रहता है।
4. अभिकारकों, सक्रियित संकुल एवं उत्पादों के मध्य साम्य स्थापित रहता है।

49. एक अभिक्रिया के लिए 27°C पर दर नियतांक है $k = 5.4 \times 10^{11} e^{-50}$

अभिक्रिया की सक्रियता ऊर्जा है।

1. 50 J mol^{-1} 2. 415 J mol^{-1}
3. $15,000 \text{ J mol}^{-1}$ 4. $125,000 \text{ J mol}^{-1}$

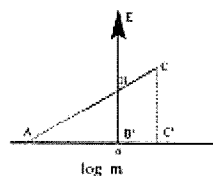
50. संकलन बहुलीकरण में अभिक्रिया अग्रसर होती है

1. चरण-चुद्धि प्रक्रम से।
2. मुक्त-मूलक श्रृंखला अभिक्रिया से।
3. सौम्य प्रक्रम से।
4. संकलन अभिक्रिया से।

46. The quantities, which are held fixed in a canonical ensemble are

1. N, T and P 2. V, T and N
3. N, V and E 4. μ , V and P

47. The correct value of E^0 of a half cell in the following graph of E vs log m (molality) is



1. CC'/AC' 2. AB'
3. BB' 4. CC'

48. One of the assumptions made in the conventional activated complex theory is

1. equilibrium is maintained between the reactants and the activated complex
2. equilibrium is maintained between the reactants and the products
3. equilibrium is maintained between the products and the activated complex
4. equilibrium is maintained between the reactants, the activated complex and the products

49. For a reaction, the rate constant k at 27°C was found to be:

$$k = 5.4 \times 10^{11} e^{-50}$$

The activation energy of the reaction is

1. 50 J mol^{-1} 2. 415 J mol^{-1}
3. $15,000 \text{ J mol}^{-1}$ 4. $125,000 \text{ J mol}^{-1}$

50. During the addition polymerisation, the reaction proceeds via

1. step-growth process
2. free-radical chain reaction
3. cascade process
4. addition reaction

51. fcc संरचना में संकुचित अल्पांश में कितने परमाणु होते हैं

- 1
- 2
- 4
- 8

52. fcc संरचना को सभी त्रिकोणमूर्तीय छेदों को अधिकृत होने पर जो संरचना प्राप्त होती है उसका प्रकार है

- NaCl
- CsCl
- CaF₂
- ZnS

53. द्रव का द्रव में, द्रव का गैस में और द्रव का द्रव में विलेयन जाना जाता है क्रमशः

- एरोसॉल, पायल, सॉल
- सॉल, एरोसॉल, पायल
- पायल, सॉल, एरोसॉल
- एरोसॉल, सॉल, पायल

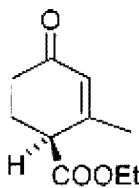
54. प्रयोगों के दो सेट : A तथा B से प्राप्त आंकड़ों के निम्नलिखित अभिलक्षण हैं।

प्रयोग	A	B
माध्य	50 इकाई	100 इकाई
मानक विचलन	2 इकाई	2 इकाई

इनसे निष्कर्ष निकाला जा सकता है कि

- A अधिक परिशुद्ध है B की अपेक्षा।
- A कम परिशुद्ध है B की अपेक्षा।
- A तथा B की परिशुद्धता समान हैं।
- A तथा B की सापेक्ष परिशुद्धता का आकलन नहीं कर सकते हैं।

55. निम्नलिखित यौगिक का IUPAC नाम है



51. How many atoms are there in an element packed in a fcc structure

- 1
- 2
- 4
- 8

52. The structure obtained when all the tetrahedral holes are occupied in a fcc structure is of the type

- NaCl
- CsCl
- CaF₂
- ZnS

53. Dispersion of a solid in a liquid, a liquid in a gas and a liquid in a liquid are respectively known as

- aerosol, emulsion, sol
- sol, aerosol, emulsion
- emulsion, sol, aerosol
- aerosol, sol, emulsion

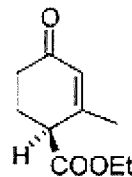
54. The data obtained from two sets of experiments A and B have the following characteristics

Experiment	A	B
Mean	50 units	100 units
Standard deviation	2 units	2 units

It may be concluded that

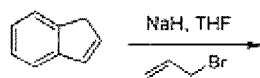
- A is more precise than B
- A is less precise than B
- A and B are of the same precision
- relative precision of A and B cannot be assessed

55. The IUPAC name of the compound given below is



- ethyl (*R*)-2-methyl-4-oxocyclohex-2-enecarboxylate
- ethyl (*S*)-2-methyl-4-oxocyclohex-2-enecarboxylate
- (*R*)-4-ethoxycarbonyl-3-methylcyclohex-2-enone
- (*S*)-4-ethoxycarbonyl-3-methylcyclohex-2-enone

56. निम्नलिखित अभिक्रिया में बनने वाला मुख्य उत्पाद है



-
-
-
-

57. कोर्नेन्थोन एवं ऐन्थ्रेसीन के विस्तृत बैंड अनुमित ^{13}C NMR स्पेक्ट्रम में प्रकट होने वाले सिग्नलों की संख्या है, क्रमशः

- दस तथा चार ।
- दस तथा दस ।
- सात तथा चार ।
- सात तथा सात ।

58. वसा अम्ल के जैव-संश्लेषण में द्विआबंध के अपचयन में भाग लेने वाला सह-एन्जाइम है ।

- NADH
- थायोस्टिन
- पिरिडॉक्सल
- FADH_2

59. (*R*)-साइक्लोहेक्स-2-ईनआल का परासेटिक अम्ल से एपाक्सीकरण करने पर यौगिकों A तथा B का 95:5 का अनुपात में मिश्रण प्राप्त होता है । यौगिक A तथा B हैं ।

- एनैन्टिओमर
- अभिविधी त्रिविध समावयव
- संघटनगतिक समावयव
- समभगी

- ethyl (*R*)-2-methyl-4-oxocyclohex-2-enecarboxylate
- ethyl (*S*)-2-methyl-4-oxocyclohex-2-enecarboxylate
- (*R*)-4-ethoxycarbonyl-3-methylcyclohex-2-enone
- (*S*)-4-ethoxycarbonyl-3-methylcyclohex-2-enone

56. The major product formed in the following reaction is



-
-
-
-

57. The number of signals that appear in the broadband decoupled ^{13}C NMR spectrum of phenanthrene and anthracene, respectively, are

- ten and four
- ten and ten
- seven and four
- seven and seven

58. The co-enzyme that is involved in the reduction of a double bond in fatty acid biosynthesis is

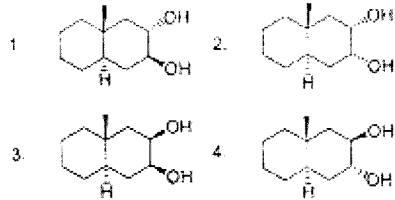
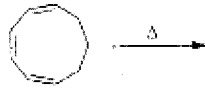
- NADH
- biotin
- pyridoxal
- FADH_2

59. Epoxidation of (*R*)-cyclohex-2-enal with peracetic acid yields a 95:5 mixture of compounds A and B. Compounds A and B are

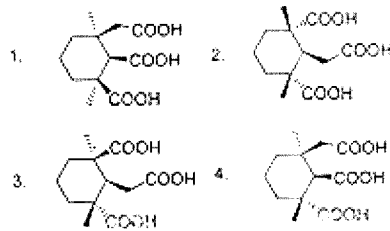
- enantiomers
- diastereomers
- constitutional isomers
- homomers

(H)

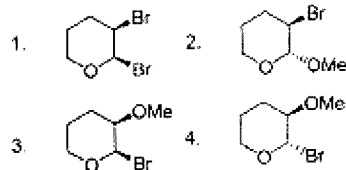
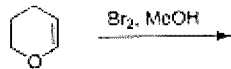
60. निम्नलिखित अभिक्रिया में उत्पन्न प्रमुख उत्पाद है।



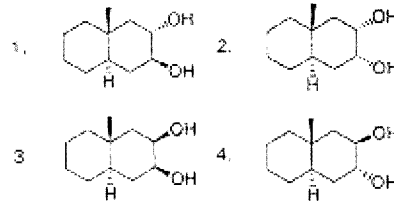
61. एबिएटिक अम्ल के पोटैशियम परमैंगनेट आक्सीकरण से बने *meso*-डाई कार्बोक्सिलिक अम्ल की संरचना है।



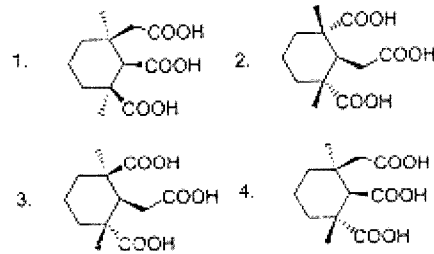
62. निम्नलिखित अभिक्रिया में उत्पन्न मुख्य उत्पाद है।



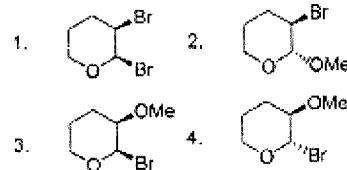
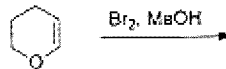
60. The major product formed in the following concerted reaction is



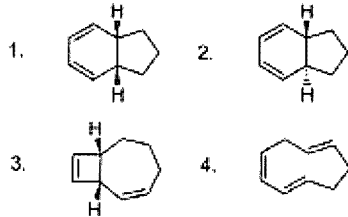
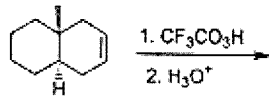
61. The structure of *meso*-tricarboxylic acid that is formed on potassium permanganate oxidation of abietic acid is



62. The major product formed in the following reaction is



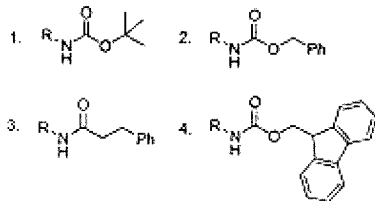
63. निम्नलिखित अभिक्रिया में उत्पन्न मुख्य उत्पाद है ।



64. निम्नलिखित में से जो ऐसिल ऋणायन का संश्लिष्ट तुल्य है, वह है ।

1. नाइट्रोएथेन तथा क्षार
2. α -क्लोरो ऐक्रिलो नाइट्रिल
3. एथिल मैग्नीशियम ब्रोमाइड
4. ऐसिटिल क्लोराइड तथा ट्राइ एथिलऐमीन

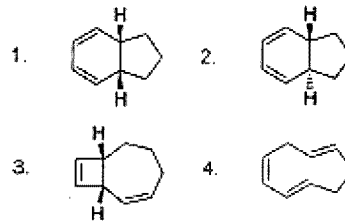
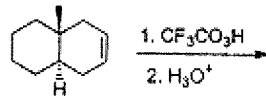
65. 10% Pd/C की उपस्थिति में हाइड्रोजन से अभिक्रिया करके, निम्नलिखित में जिसका अपस्कारण होकर RNH_2 सहजता से बनता है, वह यौगिक है ।



66. निम्नलिखित ऐमीनो अम्लों में जिसकी क्षारीय प्रकृति है, वह है ।

1. टाइरोसिन
2. ऐस्पैराजीन
3. ल्यूसीन
4. आर्जिनिन

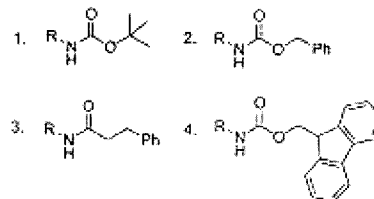
63. The major product formed in the following reaction is



64. Among the following, the synthetic equivalent for acyl anion is

1. nitroethane and base
2. α -chloroacrylonitrile
3. ethylmagnesium bromide
4. acetyl chloride and triethylamine

65. Among the following, the compound that undergoes deprotection easily on treatment with hydrogen in the presence of 10% Pd/C to generate RNH_2 is



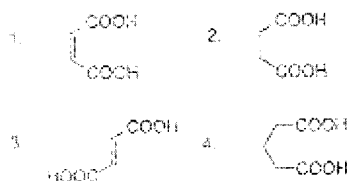
66. Among the following, the amino acid which is basic in nature is

1. tyrosine
2. asparagine
3. leucine
4. arginine

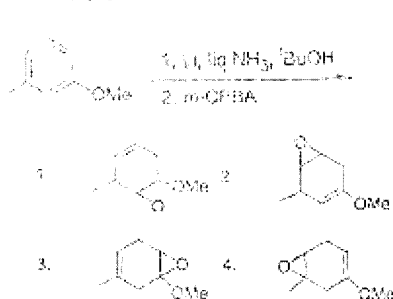
67. ऊपर दी गई दो अवस्थाओं के अंतर का कारण बताइए।

1. $T_1 \rightarrow S_0 + h\nu$
2. $T_1 \rightarrow S_0 + \Delta$
3. $S_1 \rightarrow S_0 + h\nu$
4. $S_1 \rightarrow T_1 + \Delta$

68. निम्नलिखित चार विकल्पों में से एक विकल्प चुनिए जो एक अम्ल के रूप में कार्य करता है और एक अम्ल-अम्ल अणु के रूप में कार्य करता है।



69. निम्नलिखित अभिक्रिया अनुक्रम में उत्पन्न मुख्य उत्पाद चुनिए।



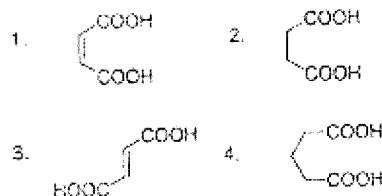
70. एक अवशिष्ट सिग्नल $^1\text{H NMR}$ स्पेक्ट्रम में एक सिग्नल अवलोकित हुआ है। इस सिग्नल में दो लाइनें हैं 2.35 तथा 2.38 ppm पर हैं। इस सिग्नल का कपलिंग स्थिरांक (J) का मान है।

1. 3 Hz
2. 6 Hz
3. 9 Hz
4. 12 Hz

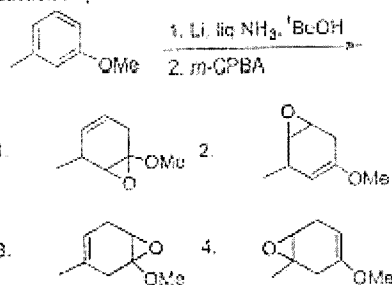
67. "Phosphorescence" is represented as

1. $T_1 \rightarrow S_0 + h\nu$
2. $T_1 \rightarrow S_0 + \Delta$
3. $S_1 \rightarrow S_0 + h\nu$
4. $S_1 \rightarrow T_1 + \Delta$

68. Among the following diacids, the one that forms an anhydride fastest on heating with acetic anhydride is



69. The major product formed in the following reaction sequence is



70. In the 400 MHz $^1\text{H NMR}$ spectrum, an organic compound exhibited a doublet. The two lines of the doublet are at δ 2.35 and 2.38 ppm. The coupling constant (J) value is

1. 3 Hz
2. 6 Hz
3. 9 Hz
4. 12 Hz

भाग / PART C

71. E—O (E = Si, P, S तथा Cl) में $p\pi-d\pi$ आबन्धन-प्रबल्य किस क्रम का अनुसरण करता है, यह है
1. Si—O > P—O > S—O > Cl—O
 2. P—O > Si—O > S—O > Cl—O
 3. S—O > Cl—O > P—O > Si—O
 4. Cl—O > S—O > P—O > Si—O
71. The strength of $p\pi-d\pi$ bonding in E—O (E = Si, P, S and Cl) follows the order
1. Si—O > P—O > S—O > Cl—O
 2. P—O > Si—O > S—O > Cl—O
 3. S—O > Cl—O > P—O > Si—O
 4. Cl—O > S—O > P—O > Si—O
72. निम्नलिखित अभिक्रियाओं को द्रव NH_3 में किया गया।
- $$\text{Zn}(\text{NH}_2)_2 + 2 \text{KNH}_2 \rightarrow \text{K}_2[\text{Zn}(\text{NH}_2)_4]$$
- $$\text{K}_2[\text{Zn}(\text{NH}_2)_4] + 2 \text{NH}_4\text{NO}_3 \rightarrow \text{Zn}(\text{NH}_2)_2 + 2 \text{KNO}_3 + 4 \text{NH}_3$$
- KNH_2 तथा NH_4NO_3 कार्य करते हैं क्रमशः
1. विलायक अम्ल तथा विलायक क्षारक का।
 2. विलायक क्षारक तथा विलायक अम्ल का।
 3. संयुगी अम्ल तथा संयुगी क्षारक का।
 4. संयुगी क्षारक तथा संयुगी अम्ल का।
72. In the following reactions carried out in liquid NH_3 ,
- $$\text{Zn}(\text{NH}_2)_2 + 2 \text{KNH}_2 \rightarrow \text{K}_2[\text{Zn}(\text{NH}_2)_4]$$
- $$\text{K}_2[\text{Zn}(\text{NH}_2)_4] + 2 \text{NH}_4\text{NO}_3 \rightarrow \text{Zn}(\text{NH}_2)_2 + 2 \text{KNO}_3 + 4 \text{NH}_3$$
- KNH_2 and NH_4NO_3 act respectively as
1. solvo-acid and solvo-base
 2. solvo-base and solvo-acid
 3. conjugate acid and conjugate base
 4. conjugate base and conjugate acid
73. निम्नलिखित युग्म जिसकी तृतीय आयनन ऊर्जा सर्वाधिक है, वह है।
1. Eu, Gd
 2. Eu, Yb
 3. Dy, Yb
 4. Lu, Yb
73. The pair of lanthanides with the highest third-ionization energy is
1. Eu, Gd
 2. Eu, Yb
 3. Dy, Yb
 4. Lu, Yb

74. लैंथेनाइड(III) आयन जिसका ट्राइ-*n*-बुटिलफॉस्फेट तथा सान्द्र HNO₃ के बीच वितरण गुणांक सर्वाधिक है, वह है

1. La(III) 2. Eu(III) 3. Nd(III) 4. Lu(III)

74. The lanthanide(III) ion having the highest partition coefficient between tri-*n*-butylphosphate and concentrated HNO₃ is

1. La(III) 2. Eu(III) 3. Nd(III) 4. Lu(III)

75. N₂H₄ का KIO₃ से मात्रात्मक आकलन H₂O/CCl₄ के मिश्रण में निम्न अब में अद्यतित होता है



अनुवाक्य अभिक्रिया के अंत बिन्दु को मोट करते हैं

1. N₂H₄ की लाल रंग जाते से ।
2. ICl के विपन्न से ।
3. CCl₄ की परत में Cl₂ के कारण जल-न पीले रंग के अदृश्य होने से ।
4. CCl₄ की परत में I₂ के कारण लाल रंग के अदृश्य होने से ।

75. The quantitative determination of N₂H₄ with KIO₃ proceeds in a mixture of H₂O/CCl₄ as follows



The end point for the titrimetric reaction is

1. consumption of N₂H₄
2. ICl formation
3. disappearance of the yellow color due to Cl₂ in CCl₄ layer
4. disappearance of the red color due to I₂ in CCl₄ layer

76. हैलाइडों NCl₃ (A), PCl₃ (B) तथा AsCl₃ (C), में से वह जो जल अपघटन करने पर दो निम्न अम्ल उत्पन्न करते हैं, वह हैं।

1. A तथा B 2. A तथा C 3. B तथा C 4. A, B तथा C

76. Among the halides, NCl₃ (A), PCl₃ (B) and AsCl₃ (C), those which produce two different acids upon hydrolysis are

1. A and B 2. A and C 3. B and C 4. A, B and C

77. अणुओं के द्विध्रुव आघूर्ण घटने का क्रम है ।

1. NF₃ > NH₃ > H₂O
2. NH₃ > NF₃ > H₂O
3. H₂O > NH₃ > NF₃
4. H₂O > NF₃ > NH₃

77. The decreasing order of dipole moment of molecules is

1. NF₃ > NH₃ > H₂O
2. NH₃ > NF₃ > H₂O
3. H₂O > NH₃ > NF₃
4. H₂O > NF₃ > NH₃

78. क्लस्टर जिलकरी *arachno* प्रकार की संरचना है, वह है
1. $[\text{Os}_3(\text{CO})_{16}]$ 2. $[\text{Os}_3(\text{CO})_{12}]$ 3. $[\text{Ir}_4(\text{CO})_{12}]$ 4. $[\text{Rh}_6(\text{CO})_{16}]$
78. The cluster having *arachno* type structure is
1. $[\text{Os}_3(\text{CO})_{16}]$ 2. $[\text{Os}_3(\text{CO})_{12}]$ 3. $[\text{Ir}_4(\text{CO})_{12}]$ 4. $[\text{Rh}_6(\text{CO})_{16}]$
79. $[(\eta^5\text{-C}_5\text{H}_5)\text{Rh}(\text{CO})]_3$ (^{103}Rh , न्युक्लियर स्पिन $I = 1/2$, 100%) के ^{13}C NMR स्पेक्ट्रम में कार्बोनिल अनुभव -65°C पर एक त्रिक के रूप में, जिसकी उपस्थिति के कारण प्रदर्शित होता है, वह है।
1. टर्मिनल CO 2. $\mu_2\text{-CO}$ 3. $\mu_3\text{-CO}$ 4. $\eta^5\text{-C}_5\text{H}_5$
79. The carbonyl resonance in ^{13}C NMR spectrum of $[(\eta^5\text{-C}_5\text{H}_5)\text{Rh}(\text{CO})]_3$ (^{103}Rh , nuclear spin, $I = 1/2$, 100%) shows a triplet at -65°C owing to the presence of
1. terminal CO 2. $\mu_2\text{-CO}$ 3. $\mu_3\text{-CO}$ 4. $\eta^5\text{-C}_5\text{H}_5$
80. न्यून आक्सीकरण अवस्था में संकुल प्रायः वायु-संवेदनशील होते परन्तु विरले ही जल संवेदनशील होते हैं क्योंकि
1. वायु अपचायक प्रकृति की है और जल निष्क्रिय है।
 2. वायु तथा जल दोनों आक्सीकारक प्रकृति के हैं।
 3. वायु तथा जल दोनों π -ग्राही नहीं हैं।
 4. न्यून आक्सीकरण अवस्था के संकुल सहजता से इलेक्ट्रॉन O_2 को गल देते हैं पर H_2O जैसे π -दाता अणु के साथ अभिचन नहीं करते हैं।
80. Low oxidation state complexes are often air-sensitive, but are rarely water sensitive because
1. air is reducing in nature while water is inert
 2. both air and water are oxidizing in nature
 3. both air and water are not π -acceptors
 4. complexes with low oxidation states will easily lose electrons to O_2 but will not bind to a π -donor molecule like H_2O
81. धातु संकुल जो कि ^{31}P NMR में एक त्रिक तथा द्विक दर्शाता है वह है
1. *mer*- $[\text{IrCl}_3(\text{PPh}_3)_3]$ 2. *trans*- $[\text{IrCl}(\text{CO})(\text{PPh}_3)_2]$
 3. *fac*- $[\text{IrCl}_3(\text{PPh}_3)_3]$ 4. $[\text{Ir}(\text{PPh}_3)_4]^+$
81. The metal complex that exhibits a triplet as well as a doublet in its ^{31}P NMR spectrum is
1. *mer*- $[\text{IrCl}_3(\text{PPh}_3)_3]$ 2. *trans*- $[\text{IrCl}(\text{CO})(\text{PPh}_3)_2]$
 3. *fac*- $[\text{IrCl}_3(\text{PPh}_3)_3]$ 4. $[\text{Ir}(\text{PPh}_3)_4]^+$

82. कम्प्लेक्स में 18 इलेक्ट्रॉन नियम का पालन नहीं होता है, वह है

- | | |
|---------------------------------------|-------------------------------------|
| 1. $[(\eta^5-C_5H_5)RuCl(CO)(PPh_3)]$ | 2. $[W(CO)_5(SiMe_3)(Cl)(NMe_2)_2]$ |
| 3. $[IrCl_3(PPh_3)_2(AsPh_3)]^-$ | 4. $[Os(N)Br_2(PMe_3)(NMe_2)]^-$ |

83. The complex that **DOES NOT** obey 18 electron rule is

- | | |
|---------------------------------------|-------------------------------------|
| 1. $[(\eta^5-C_5H_5)RuCl(CO)(PPh_3)]$ | 2. $[W(CO)_5(SiMe_3)(Cl)(NMe_2)_2]$ |
| 3. $[IrCl_3(PPh_3)_2(AsPh_3)]^-$ | 4. $[Os(N)Br_2(PMe_3)(NMe_2)]^-$ |

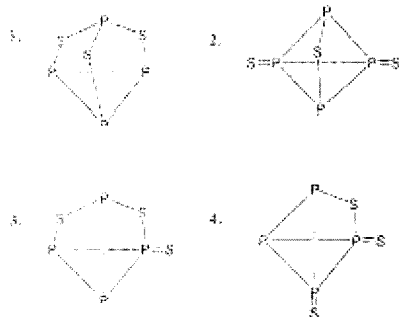
83. अष्टकोणीय $Ni(II)$ संकुल जिसकी निम्न अवस्था $^1A_{1g}$ है, के लिए निम्न अनुमत विरान्ध क्षेत्र संक्रमणों की संख्या है ।

- | | | | |
|-------|--------|-------|--------|
| 1. दो | 2. तीन | 3. एक | 4. चार |
|-------|--------|-------|--------|

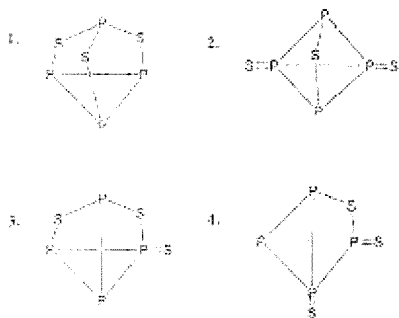
83. The number of spin-allowed ligand field transitions for octahedral $Ni(II)$ complexes with $^1A_{1g}$ ground state is

- | | | | |
|--------|----------|--------|---------|
| 1. two | 2. three | 3. one | 4. four |
|--------|----------|--------|---------|

84. P_4S_5 की सही संरचना है



84. The correct structure of P_4S_5 is



85. अभिक्रिया $[\text{Mn}(\text{CO})_5]^+ + \text{MeLi} \rightarrow$ का अंतिम उत्पाद है ।
1. $[\text{Mn}(\text{CO})_5]^+ \text{Me}^-$
 2. $[\text{Mn}(\text{CO})_5 \text{Me}]$
 3. $[\text{Mn}(\text{CO})_6]$
 4. $[(\text{MeCO})\text{Mn}(\text{CO})_5]$
85. The final product of the reaction $[\text{Mn}(\text{CO})_5]^+ + \text{MeLi} \rightarrow$ is
1. $[\text{Mn}(\text{CO})_5]^+ \text{Me}^-$
 2. $[\text{Mn}(\text{CO})_5 \text{Me}]$
 3. $[\text{Mn}(\text{CO})_6]$
 4. $[(\text{MeCO})\text{Mn}(\text{CO})_5]$
86. अभिक्रिया जिससे $\text{Li}[\text{AlH}_4]$ बनता है, वह है ।
1. $\text{HCl} (\text{excess}) + \text{AlCl}_3 + \text{Li} \rightarrow$
 2. $\text{H}_2 + \text{Al} + \text{Li} \rightarrow$
 3. $\text{LiH} (\text{excess}) + \text{AlCl}_3 \rightarrow$
 4. $\text{LiH} (\text{excess}) + \text{Al} \rightarrow$
86. The reaction that yields $\text{Li}[\text{AlH}_4]$ is
1. $\text{HCl} (\text{excess}) + \text{AlCl}_3 + \text{Li} \rightarrow$
 2. $\text{H}_2 + \text{Al} + \text{Li} \rightarrow$
 3. $\text{LiH} (\text{excess}) + \text{AlCl}_3 \rightarrow$
 4. $\text{LiH} (\text{excess}) + \text{Al} \rightarrow$
87. d^5 इलेक्ट्रॉन विन्यास के लिए माइक्रोस्टेटों की संख्या है ।
1. 21×6^3
 2. 14×6^3
 3. 7×6^3
 4. 28×6^3
87. The number of microstates for d^5 electron configuration is
1. 21×6^3
 2. 14×6^3
 3. 7×6^3
 4. 28×6^3
88. एक नमूने लकड़ी के नमूने की कार्बन-14 सक्रियता $14.2 \text{ disintegrations min}^{-1} \text{g}^{-1}$ पायी गयी है । यदि एक ताज़ा लकड़ी के नमूने की कार्बन-14 सक्रियता $15.3 \text{ disintegrations min}^{-1} \text{g}^{-1}$ हो तो, उसी लकड़ी के नमूने की परिष्कृत आयु (कार्बन-14 के लिए $t_{1/2} = 5730$ वर्ष) है ।
1. 5,000 वर्ष
 2. 4,000 वर्ष
 3. 877 वर्ष
 4. 617 वर्ष
88. The carbon-14 activity of an old wood sample is found to be $14.2 \text{ disintegrations min}^{-1} \text{g}^{-1}$. Calculated age of old wood sample, if for a fresh wood sample carbon-14 activity is $15.3 \text{ disintegrations min}^{-1} \text{g}^{-1}$ ($t_{1/2}$ carbon-14 is 5730 years), is
1. 5,000 years
 2. 4,000 years
 3. 877 years
 4. 617 years
89. अभिक्रिया $3[\text{Rh}_4(\text{CO})_{12}] \rightarrow 2[\text{Rh}_6(\text{CO})_{16}] + 4\text{CO}$ [25°C , 500 atm CO]
1. ऊष्माक्षेपी है क्योंकि अधिक धातु-धातु आबन्ध बनते हैं ।
 2. ऊष्माक्षेपी है क्योंकि प्रबल धातु-कार्बोनिल आबन्ध विभाजित होते हैं और उनसे दुर्बल धातु-धातु आबन्ध बनते हैं ।
 3. एन्ट्रॉपी अनुसंधित है और एन्थैल्पी प्रतिकूल है जिससे $\Delta G < 0$ हो जाता है ।
 4. ऊष्माक्षेपक अनुसंधित नहीं है । ($\Delta G > 0$)

89. The reaction $3[\text{Rh}_4(\text{CO})_{12}] \rightarrow 2[\text{Ru}_4(\text{CO})_{16}] + 4\text{CO}$ [25 °C, 500 atm CO] is
1. exothermic as more metal-metal bonds are formed.
 2. endothermic as stronger metal-carbonyl bonds are cleaved while weaker metal-metal bonds are formed.
 3. is entropically favorable but enthalpically unfavorable such that $\Delta G = 0$
 4. thermodynamically unfavorable ($\Delta G > 0$).
90. एक कॉलम में 0.5 g मजबूत अम्लीय आयन विनिमय रेजिन जो कि H^+ रूप में है, से गुजर दिया गया। निम्नलिखित उदासीन होने तक इस कॉलम से 1.0 M NaCl विलयन को प्रवाहित किया गया। एकत्रित फ़िल्ट्रेट को पूर्ण रूप से उदासीन करने के लिए 0.5 M NaOH की 17 mL की आवश्यकता होती है। रेजिन की आयन विनिमय क्षमता है।
1. 1.00 meq/g
 2. 1.25 meq/g
 3. 1.50 meq/g
 4. 1.75 meq/g
90. A column is packed with 0.5 g of a strongly acidic ion exchange resin in H^+ form. A 1.0 M NaCl solution is passed through the column until the eluant coming out becomes neutral. The collected eluant is completely neutralized by 17 ml. of 0.5 M NaOH. The ion exchange capacity of the resin is
1. 1.00 meq/g
 2. 1.25 meq/g
 3. 1.50 meq/g
 4. 1.75 meq/g
91. यौगिक B (अणुभार = 180) का अणु अवशोषण गुणांक $4 \times 10^3 \text{ lit mol}^{-1} \text{cm}^{-1}$ है। C का एक सेंटर विलयन विलने B का 0.1358 g औषधीय तैयारी है। 1 cm एब्जॉर्बेंस सेल में 0.441 अवशोषणक दिखाता है। B का प्रतिशत (w/w) औषधीय तैयारी में है।
1. 10.20
 2. 14.60
 3. 20.40
 4. 29.12
91. The molar extinction coefficient of B (MW = 180) is $4 \times 10^3 \text{ lit mol}^{-1} \text{cm}^{-1}$. One liter solution of C, which contains 0.1358 g pharmaceutical preparation of B, shows an absorbance of 0.441 in a 1 cm quartz cell. The percentage (w/w) of B in the pharmaceutical preparation is
1. 10.20
 2. 14.60
 3. 20.40
 4. 29.12
92. O_2 के हीमरिथिन से आयोजन करने पर होने वाले परिवर्तन (निम्नलिखित A-D में से) कौन से हैं।
- (A) आयोजन का एक परमाणु अवशोषित हो जाता है।
 - (B) दोनों आयोजन परमाणु अवशोषित हो जाते हैं।
 - (C) O_2 एक आयोजन परमाणु से आयोजन करता है तथा हाइड्रोजन आयोजन भी करता है।
 - (D) O_2 दोनों आयोजन परमाणुओं से आयोजन करता है तथा हाइड्रोजन आयोजन भी करता है।
1. B तथा C
 2. B तथा D
 3. A तथा D
 4. A तथा C
92. The changes (from A-D) given below) which occur when O_2 binds to hemerythrin are:
- (A) one iron atom is oxidized
 - (B) both the iron atoms are oxidized
 - (C) O_2 binds to one iron atom and is also hydrogen bonded
 - (D) O_2 binds to both the iron atoms and is also hydrogen bonded
1. B and C
 2. B and D
 3. A and D
 4. A and C

93. प्रकाश संश्लेषी तंत्रिकाओं में रेडॉक्स धातवीय प्रोटीनों को इलेक्ट्रॉन स्थानान्तरण से लिखा जाता है, वह हैं : साइटोक्रोम (cyt b) साइटोक्रोम bf संकुल (cyt bf) तथा प्लास्टोसायनिन (PC)। इलेक्ट्रॉन प्रवाह का क्या है।

1. $PC \rightarrow cyt\ b \rightarrow cyt\ bf$
2. $cyt\ bf \rightarrow cyt\ b \rightarrow PC$
3. $cyt\ b \rightarrow cyt\ bf \rightarrow PC$
4. $PC \rightarrow cyt\ bf \rightarrow cyt\ b$

93. In photosynthetic systems the redox metalloproteins involved in electron transfer are cytochrome (cyt b), cytochrome bf complex (cyt bf) and plastocyanin (PC). The pathway of electron flow is

1. $PC \rightarrow cyt\ b \rightarrow cyt\ bf$
2. $cyt\ bf \rightarrow cyt\ b \rightarrow PC$
3. $cyt\ b \rightarrow cyt\ bf \rightarrow PC$
4. $PC \rightarrow cyt\ bf \rightarrow cyt\ b$

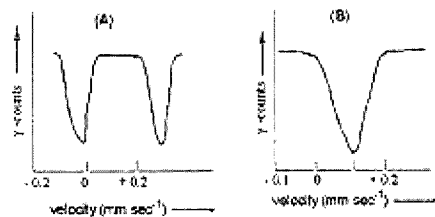
94. अष्टफलकीय उच्च-स्पीन Mn(II) संकुलों के लिए संभावित सूक्ष्म तथा अति सूक्ष्म EPR रेखाओं की कुल संख्याएँ हैं क्रमशः ($I = 5/2$ Mn)

1. 3 तथा 30
2. 5 तथा 33
3. 5 तथा 30
4. 4 तथा 24

94. The total numbers of fine and hyperfine EPR lines expected for octahedral high-spin Mn(II) complexes are respectively ($I = 5/2$ for Mn)

1. 3 and 30
2. 5 and 33
3. 5 and 30
4. 4 and 24

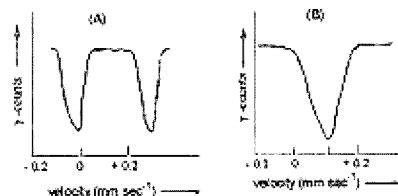
95. दो आयरन संकुलों के गौसबॉर स्पेक्ट्रम नीचे दर्शाये गये हैं। ये उत्पन्न हो सकते हैं (i) उच्च-स्पीन आयरन(III) (ii) उच्च-स्पीन आयरन (II) तथा (iii) निम्न-स्पीन आयरन (III) से।



संकेतों A तथा B के आयरन संकुलों के साथ सही मिलान है।

1. A का (i) तथा B का (ii) से।
2. A का (ii) तथा B का (i) से।
3. A का (iii) तथा B का (ii) से।
4. A का (ii) तथा B का (iii) से।

95. The Mössbauer spectra of two iron complexes are shown below. They may arise from (i) high-spin iron(III), (ii) high-spin iron(II) and (iii) low-spin iron(III)



The correct matches of spectra (A) and (B) with the iron complexes are

1. A with (i) and B with (ii) 2. A with (ii) and B with (i)
3. A with (iii) and B with (ii) 4. A with (ii) and B with (iii)

96. एक L दायरे के एक विहित कण में एक कण को $\frac{1}{4}$ तथा $\frac{3L}{4}$ क्षेत्रों के मध्य तथा क्वांटम संख्या $n = 1$ के लिए मिलने की संभावना है ।

1. $\frac{1}{2}$ 2. $\frac{1}{2} + \frac{1}{\pi}$ 3. $\frac{1}{2} - \frac{1}{\pi}$ 4. $\frac{2}{3}$

96. The probability of finding the particle in a one dimensional box of length L in the region between $\frac{L}{4}$ and $\frac{3L}{4}$ for quantum number $n = 1$ is

1. $\frac{1}{2}$ 2. $\frac{1}{2} + \frac{1}{\pi}$ 3. $\frac{1}{2} - \frac{1}{\pi}$ 4. $\frac{2}{3}$

97. एक कण को विहित कक्ष में क्वांटम संख्या I, है, तो क्वांटम $\frac{14h^2}{8mL^2}$ है । अवस्था की संभावना है ।

1. 2 2. 3 3. 6 4. 9

97. A particle in three dimensional cubic box of length L has energy of $\frac{14h^2}{8mL^2}$. The degeneracy of the state is

1. 2 2. 3 3. 6 4. 9

98. एक विकिरण के लिए निम्नलिखित तीन कथन हैं ।

- A. निम्नतम अवस्था ऊर्जा में द्वितीय कोटि का क्षेत्र सुचारु तथा वर्णमाला होता है ।
B. निम्नतम अवस्था ऊर्जा में दूसरे तथा चतुर्थ कोटि के सुक्ष्म का क्षेत्र तथा एकदम सटी निम्नतम अवस्था ऊर्जा का अधिक क्षेत्र है ।
C. निम्नतम अवस्था ऊर्जा में दूसरे तथा चतुर्थ कोटि के सुक्ष्म का क्षेत्र तथा एकदम सटी निम्नतम अवस्था ऊर्जा को कम क्षेत्र है ।

निम्नलिखित में से कौन का सही है ।

1. कथन A सत्य है । 2. A तथा B दोनों सत्य हैं ।
3. कथन C सत्य है । 4. B तथा C दोनों सत्य हैं ।

99. The following are the three statements about perturbation theory

- A. second order perturbation correction to the ground state energy is ALWAYS negative.
B. sum of the zeroth order and first order corrections to the ground state energy is ALWAYS greater than the exact ground state energy.

- C. sum of the zeroth order and first order corrections to the ground state energy is less than the exact ground state energy.

From the following which one is correct?

1. only A is true
2. both A and B are true
3. only C is true
4. both B and C are true

99. सबसे अधिक अर्थवत् सन्निकटन का प्रयोग करने पर एथीन के लिए शीर्षकान्तिक समीकरण के दो मूल हैं ।

1. $\alpha + \sqrt{2}\beta$, $\alpha - \sqrt{2}\beta$,
2. $\alpha + \beta$, α
3. $\alpha + \beta$, $\alpha - \beta$,
4. $\alpha + 2\beta$, $\alpha - 2\beta$.

99. Using Hückel molecular orbital approximation, the two roots of secular equation of ethene are

1. $\alpha + \sqrt{2}\beta$, $\alpha - \sqrt{2}\beta$.
2. $\alpha + \beta$, α
3. $\alpha + \beta$, $\alpha - \beta$,
4. $\alpha + 2\beta$, $\alpha - 2\beta$.

100. उत्तमोत्तम अवस्था $\sigma_g^1 \sigma_g^1$ में हाइड्रोजन अणु के लिए $m_s = 0$ वाली त्रिक अवस्था का कितना भाग सम्बन्धित है।

1. $\alpha(1)\beta(2)$ के ।
2. $[\alpha(1)\beta(2) - \beta(1)\alpha(2)]$ के ।
3. $\alpha(1)\alpha(2)$ के ।
4. $[\alpha(1)\beta(2) + \beta(1)\alpha(2)]$ के ।

100. For H_2 molecule in the excited state $\sigma_g^1 \sigma_g^1$, the spin part of the triplet state with $m_s = 0$ is proportional to

1. $\alpha(1)\beta(2)$
2. $[\alpha(1)\beta(2) - \beta(1)\alpha(2)]$
3. $\alpha(1)\alpha(2)$
4. $[\alpha(1)\beta(2) + \beta(1)\alpha(2)]$

101. एक वर्ग त्रिभुजिती अणु MX_4 , C_{4v} बिन्दु समूह का है । सममिति संख्याएँ हैं : E, $2C_4$, C_2 , $2C_2'$, तथा $2\sigma_v$ । सममिति संख्या C_{4v} को MX_4 पर लगाने से उत्पन्न सम्बन्धित निरूपण अक्षरे हैं ।

1. 5 1 1 1 3
2. 1 1 1 1 1
3. 5 1 1 1 1
4. 4 1 1 1 3

101. A square pyramidal, MX_4 , molecule belongs to C_{4v} point group. The symmetry operations are: E, $2C_4$, C_2 , $2C_2'$, and $2\sigma_v$. The trace for the reducible representation, when symmetry operations of C_{4v} applied to MX_4 , is

1. 5 1 1 1 3
2. 1 1 1 1 1
3. 5 1 1 1 1
4. 4 1 1 1 3

102. C_{2v} बिन्दु समूह की लक्षण तालिका है

C_{2v}	E	C_2	σ_v	σ_v'	
A_1	1	1	1	1	z
A_2	1	1	-1	-1	-
B_1	1	-1	1	-1	x
B_2	1	-1	-1	1	y

यदि प्रारम्भिक तथा अन्तिम अवस्थाओं का अनुक्रमणिका क्रमिक क्रम A_1 तथा B_1 है। A_1 से B_1 का अनुमत इलेक्ट्रॉनिक संक्रमण है

1. z-ध्रुवित 2. y-ध्रुवित 3. x-ध्रुवित 4. x, z-ध्रुवित

102. Character table of C_{2v} point group is

C_{2v}	E	C_2	σ_v	σ_v'	
A_1	1	1	1	1	z
A_2	1	1	-1	-1	-
B_1	1	-1	1	-1	x
B_2	1	-1	-1	1	y

If the initial and final states belong to A_1 and B_1 irreducible representations respectively, the allowed electronic transition from A_1 to B_1 is

1. z-polarized 2. y-polarized 3. x-polarized 4. x, z-polarized

103. 0.5 cm पथ लम्बाई के क्यूवेट से एक क्रोमोफोर का $10^{-4}M$ विलयन किसी एक तरंग दैर्घ्य पर 50% सारमयता दर्शाता है। इसी तरंग दैर्घ्य पर क्रोमोफोर का अनुकूल अवशोषण गुणांक है। ($\log 2 = 0.301$)

1. $1500 M^{-1} cm^{-1}$ 2. $3010 M^{-1} cm^{-1}$
3. $5000 M^{-1} cm^{-1}$ 4. $6020 M^{-1} cm^{-1}$

103. Using cuvettes of 0.5 cm path length, a $10^{-4}M$ solution of a chromophore shows 50% transmittance at certain wave length. The molar extinction coefficient of the chromophore at this wave length is ($\log 2 = 0.301$)

1. $1500 M^{-1} cm^{-1}$ 2. $3010 M^{-1} cm^{-1}$
3. $5000 M^{-1} cm^{-1}$ 4. $6020 M^{-1} cm^{-1}$

104. निम्नलिखित में से अनुमत इलेक्ट्रॉनिक संक्रमणों का सेट है।

- (A) ${}^1\Sigma \rightarrow {}^2\Pi$ (B) ${}^3\Sigma \rightarrow {}^3\Pi$
(C) ${}^1\Delta \rightarrow {}^1\Delta$ (D) ${}^2\Pi \rightarrow {}^2\Pi$ (E) ${}^3\Sigma \rightarrow {}^3\Delta$

1. A, B, E 2. A, C, E 3. B, C, D 4. C, D, E

104. The set of allowed electronic transitions among the following is

- (A) ${}^4\Sigma \rightarrow {}^3\Pi$ (B) ${}^2\Sigma \rightarrow {}^3\Pi$
 (C) ${}^1\Delta \rightarrow {}^1\Lambda$ (D) ${}^2\Pi \rightarrow {}^2\Pi$ (E) ${}^3\Sigma \rightarrow {}^3\Delta$

1. A, B, E 2. A, C, E 3. B, C, D 4. C, D, E

105. द्वि परमाणुक अणु के कंपनान्तीय स्पेक्ट्रम की कम्पनीय सूत्र सरलता से निम्नलिखित आंकड़े प्राप्त हुए ।

$$\omega_e = 512 \text{ cm}^{-1}, \quad \omega_e x_e = 8 \text{ cm}^{-1}$$

जहाँ ω_e कम्पन की प्राकृतिक आवृत्ति से सम्बन्धित ऊर्जा है तथा x_e अप्रत्याहारिता स्थिरांक है ।
 अणु की विघटन ऊर्जा (D_0) है ।

1. 4096 cm^{-1} 2. 6144 cm^{-1} 3. 8192 cm^{-1} 4. 16384 cm^{-1}

105. The following data were obtained from the vibrational fine structure in the vibronic spectrum of a diatomic molecule:

$$\omega_e = 512 \text{ cm}^{-1}, \quad \omega_e x_e = 8 \text{ cm}^{-1}$$

where ω_e is the energy associated with the natural frequency of vibration and x_e is the anharmonicity constant. The dissociation energy (D_0) of the molecule is

1. 4096 cm^{-1} 2. 6144 cm^{-1} 3. 8192 cm^{-1} 4. 16384 cm^{-1}

106. एक आदर्श गैस का आयतन उत्क्रमणीय अद्वितीय प्रसार के पश्चात् उत्क्रमणीय समतापी संपीडन से प्राथमिक अवस्था के आयतन के तुल्य कर दिया गया । यदि 'q' विचार्य के ऊष्मा का योगदान और w विचलन द्वारा किया गया कार्य है तो

1. $w < 0, q < 0$ 2. $w > 0, q < 0$
 3. $w < 0, q > 0$ 4. $w > 0, q > 0$

106. An ideal gas was subjected to a reversible, adiabatic expansion and then its initial volume was restored by a reversible, isothermal compression. If 'q' denotes the heat added to the system and 'w' the work done by the system, then

1. $w < 0, q < 0$ 2. $w > 0, q < 0$
 3. $w < 0, q > 0$ 4. $w > 0, q > 0$

107. गैसीय अवस्था में अभिक्रिया $2\text{NO}_2(\text{g}) \rightarrow \text{N}_2\text{O}_4(\text{g})$ एक ऊष्माक्षेपी प्रक्रम है । NO_2 तथा N_2O_4 के साम्य अवस्था प्राप्त मिश्रण में N_2O_4 का विघटन प्रेरित किया जा सकता है ।

1. ताप कम करके ।
 2. दाब बड़ा के ।
 3. स्थिर आयतन पर निष्क्रिय गैस मिलाकर ।
 4. स्थिर दाब पर निष्क्रिय गैस मिलाकर ।

107. The gas phase reaction $2\text{NO}_2(g) \rightarrow \text{N}_2\text{O}_4(g)$ is an exothermic process. In an equilibrium mixture of NO_2 and N_2O_4 , the decomposition of N_2O_4 can be induced by:

1. lowering the temperature
2. increasing the pressure
3. introducing an inert gas at constant volume
4. introducing an inert gas at constant pressure

108. *एक गैस की दबाव को स्थिर रखते हुए उसे जोर का एक संचय नहीं है*

1. $-\left(\frac{\partial T}{\partial V}\right)_p = \left(\frac{\partial p}{\partial S}\right)_V$
2. $-\left(\frac{\partial T}{\partial p}\right)_S = \left(\frac{\partial V}{\partial S}\right)_p$
3. $-\left(\frac{\partial S}{\partial V}\right)_T = -\left(\frac{\partial p}{\partial T}\right)_V$
4. $-\left(\frac{\partial S}{\partial p}\right)_T = -\left(\frac{\partial V}{\partial T}\right)_p$

108. Indicate which one of the following relations is NOT correct

1. $-\left(\frac{\partial T}{\partial V}\right)_p = \left(\frac{\partial p}{\partial S}\right)_V$
2. $-\left(\frac{\partial T}{\partial p}\right)_S = \left(\frac{\partial V}{\partial S}\right)_p$
3. $-\left(\frac{\partial S}{\partial V}\right)_T = -\left(\frac{\partial p}{\partial T}\right)_V$
4. $-\left(\frac{\partial S}{\partial p}\right)_T = \left(\frac{\partial V}{\partial T}\right)_p$

109. *एक अणु की दोनो को ऊर्जा स्तर (सूचक चिह्न n द्वारा जो $n=0, 1, 2, \dots, \infty$ की $h\nu = k_B T$ परत स्तर को दिखाता है) है।*

1. e
2. $\frac{1}{e}$
3. $1 - \frac{1}{e}$
4. $\frac{1}{1 - \frac{1}{e}}$

109. The energy levels of the harmonic oscillator (neglecting zero point energy) are $\epsilon_n = n h \nu$ for $n = 0, 1, 2, \dots, \infty$. Assuming $h\nu = k_B T$, the partition function is

1. e
2. $\frac{1}{e}$
3. $1 - \frac{1}{e}$
4. $\frac{1}{1 - \frac{1}{e}}$

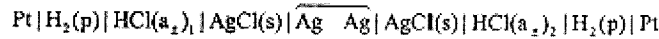
110. *एक कण को दोनो दोनो को अवस्थाओं में अतिमान $\{0, 1, 2, 3\}$ है, की संख्या बताओ।*

1. $k_B \ln 6$
2. $k_B \ln 12$
3. $k_B \ln 60$
4. $k_B \ln 720$

110. The correct entropy for 6 identical particles with their occupation number $\{0, 1, 2, 3\}$ in four states is

1. $k_B \ln 6$
2. $k_B \ln 12$
3. $k_B \ln 60$
4. $k_B \ln 720$

111. सामान्य सेल



जिसमें द्रवस्थि नहीं है के लिए सही नेर्नस्ट समीकरण है।

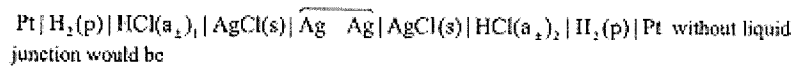
$$1. E = \frac{2RT}{F} \ln \frac{(\text{a}_\pm)_1}{(\text{a}_\pm)_2}$$

$$2. E = \frac{RT}{F} \ln \frac{(\text{a}_\pm)_2}{(\text{a}_\pm)_1}$$

$$3. E = \frac{2RT}{F} \ln \frac{(\text{a}_\pm)_2}{(\text{a}_\pm)_1}$$

$$4. E = \frac{RT}{2F} \ln \frac{(\text{a}_\pm)_2}{(\text{a}_\pm)_1}$$

111. The correct Nernst equation for the concentration cell:



$$1. E = \frac{2RT}{F} \ln \frac{(\text{a}_\pm)_1}{(\text{a}_\pm)_2}$$

$$2. E = \frac{RT}{F} \ln \frac{(\text{a}_\pm)_2}{(\text{a}_\pm)_1}$$

$$3. E = \frac{2RT}{F} \ln \frac{(\text{a}_\pm)_2}{(\text{a}_\pm)_1}$$

$$4. E = \frac{RT}{2F} \ln \frac{(\text{a}_\pm)_2}{(\text{a}_\pm)_1}$$

112. डेबाई-हुकेल समीकरण के अपकलन से संयुक्त, मुख्य समिकरण है/हैं

- केवल पदार्थों समीकरण की वैधता।
- पदार्थों समीकरण तथा बोल्ट्समान बंटन की वैधता।
- पदार्थों समीकरण तथा बोल्ट्समान बंटन और $|\pm Z e \phi| > k_B T$ की वैधता।
- पदार्थों समीकरण तथा बोल्ट्समान बंटन और $|\pm Z e \phi| \ll k_B T$ की वैधता।

112. Main assumption(s) involved in the derivation of Debye-Hückel equation is(are) the validity of

- only Poisson equation
- Poisson equation and Boltzmann distribution
- Poisson equation, Boltzmann distribution and $|\pm Z e \phi| > k_B T$
- Poisson equation, Boltzmann distribution and $|\pm Z e \phi| \ll k_B T$

113. संक्रमण धातु संकुल $[\text{ML}_6]^{2+}$ के लिए (OH^-) जल अपघटन के लिए $\log(k/k_0)$ तथा \sqrt{I} के मध्य आरेख का ढलान -2.1 है। संकुल पर आवेश है

- +1
- 2
- +3
- +4

113. In the base (OH^-) hydrolysis of a transition metal complex $[\text{ML}_6]^{2+}$, the slope between $\log(k/k_0)$ and \sqrt{I} is found to be -2.1 . The charge on the complex is

- +1
- +2
- +3
- +4

H

114. CH_3CHO को 520°C तथा 0.2 bar पर ताप अपघटन की एक क्रिया विधि के लिए दर नियम है

$$\text{Rate} = -k_2 \left(\frac{k_1}{2k_t} \right)^{1/2} [\text{CH}_3\text{CHO}]^{3/2}$$

सम्पूर्ण तथेपरम ऊर्जा E_a दर नियम के पदों में है ।

1. $E_a(2) + E_a(1) + 2E_a(4)$
2. $E_a(2) + \frac{1}{2}E_a(1) - E_a(4)$
3. $E_a(2) + \frac{1}{2}E_a(1) - \frac{1}{2}E_a(4)$
4. $E_a(2) - \frac{1}{2}E_a(1) + \frac{1}{2}E_a(4)$

114. The rate law for one of the mechanisms of the pyrolysis of CH_3CHO at 520°C and 0.2 bar is

$$\text{Rate} = -k_2 \left(\frac{k_1}{2k_t} \right)^{1/2} [\text{CH}_3\text{CHO}]^{3/2}$$

The overall activation energy E_a in terms of the rate law is:

1. $E_a(2) + E_a(1) + 2E_a(4)$
2. $E_a(2) + \frac{1}{2}E_a(1) - E_a(4)$
3. $E_a(2) + \frac{1}{2}E_a(1) - \frac{1}{2}E_a(4)$
4. $E_a(2) - \frac{1}{2}E_a(1) + \frac{1}{2}E_a(4)$

115. एन्जाइम क्रिया गति की माइकेलिस-मैन्टेन क्रियाविधि के लिए अवकलित व्यंजक है

$$\frac{v}{[E]_0[S]} = 1.4 \times 10^{12} - \frac{10^4 v}{[E]_0}$$

k_3 (k_{cat} , $\text{mol L}^{-1}\text{s}^{-1}$) तथा K (माइकेलिस स्थिरांक, mol L^{-1}) के मान हैं क्रमशः :

1. $1.4 \times 10^{12}, 10^4$
2. $1.4 \times 10^8, 10^4$
3. $1.4 \times 10^8, 10^{-4}$
4. $1.4 \times 10^{12}, 10^{-4}$

115. In the Michaelis-Menten mechanism for enzyme kinetics, the expression obtained is:

$$\frac{v}{[E]_0[S]} = 1.4 \times 10^{12} - \frac{10^4 v}{[E]_0}$$

The values of k_3 (k_{cat} , $\text{mol L}^{-1}\text{s}^{-1}$) and K (Michaelis constant, mol L^{-1}), respectively, are

1. $1.4 \times 10^{12}, 10^4$
2. $1.4 \times 10^8, 10^4$
3. $1.4 \times 10^8, 10^{-4}$
4. $1.4 \times 10^{12}, 10^{-4}$

116. रेल उद्योग में सर्बधिक प्रयोग किया जाने वाला उत्प्रेरक तथा संगत प्रकार हैं, क्रमशः :

1. ऐलुमिनी फास्फेट तथा पुनः संशोधन
2. ऐलुमिनी सिलिकेट तथा अंजन
3. ऐलुमिनी सिलिकेट तथा पुनः संशोधन
4. ऐलुमिनी फास्फेट तथा अंजन

116. The most used acid catalyst in oil industry and the relevant process are respectively
1. aluminophosphate and reforming
 2. aluminosilicate and cracking
 3. aluminosilicate and reforming
 4. aluminophosphate and cracking
117. अर्ध-धातुक के बैंड गैप ($E_g = 1.98 \times 10^{-19} \text{J}$) से एक इलेक्ट्रॉन को स्थानांतरित करने के लिए तरंगदैर्घ्य तथा उसका वर्णक्रम क्षेत्र है [$h = 6.626 \times 10^{-34} \text{Js}$, $c = 3 \times 10^8 \text{ms}^{-1}$]
1. 1000 nm, UV
 2. 1000 nm, IR
 3. 500 nm, visible
 4. 500 nm, FAR IR
117. The wavelength and the spectral region for a single electron transfer across the band gap in a semiconductor ($E_g = 1.98 \times 10^{-19} \text{J}$) are [$h = 6.626 \times 10^{-34} \text{Js}$, $c = 3 \times 10^8 \text{ms}^{-1}$]
1. 1000 nm, UV
 2. 1000 nm, IR
 3. 500 nm, visible
 4. 500 nm, FAR IR
118. एक fcc संरचना में स्थिरता प्राप्त करने वाले एक तत्व के लिए जब तक पैरामीटर 4.04\AA है। तत्व की परमाणु विज्या है।
1. 2.86\AA
 2. 1.43\AA
 3. 4.29\AA
 4. 5.72\AA
118. The lattice parameter of an element stabilized in a fcc structure is 4.04\AA . The atomic radius of the element is
1. 2.86\AA
 2. 1.43\AA
 3. 4.29\AA
 4. 5.72\AA
119. एक बहुलक की संख्या-औसत मोलीय संहति (\bar{M}_n) तथा भार-औसत मोलीय संहति (\bar{M}_w) को ज्ञात करते हैं क्रमशः
1. परासरणक्षपी तथा प्रकाश-प्रकीर्णन मापन से।
 2. परासरणक्षपी तथा श्यानता मापन से।
 3. प्रकाश-प्रकीर्णन तथा अवसादन मापन से।
 4. श्यानता तथा प्रकाश प्रकीर्णन मापन से।
119. The number-average molar mass (\bar{M}_n) and weight-average molar mass (\bar{M}_w) of a polymer are obtained respectively by
1. osmometry and light scattering measurements
 2. osmometry and viscosity measurements
 3. light scattering and sedimentation measurements
 4. viscosity and light scattering measurements
120. समान परिवर्तियों X तथा Y के लिए आंकड़ों के दो सेट निम्नलिखित हैं।
- | | | | | | | |
|----------|------|------|------|------|------|------|
| X | 4.1 | 4.2 | 4.3 | 4.4 | 4.5 | 4.6 |
| Y(Set A) | 10.2 | 10.6 | 10.9 | 11.5 | 11.8 | 12.2 |
| Y(Set B) | 10.2 | 10.6 | 11.1 | 11.3 | 11.8 | 12.2 |

दो सेटों में समाश्रयण के लक्ष्य के डेटाओं तथा आ-सूचों को बड़े क्रमशः (m_A, m_B) तथा (c_A, c_B), द्वारा निर्दिष्ट किया जाए तो

- $m_A > m_B, c_A > c_B$
- $m_A < m_B, c_A > c_B$
- $m_A > m_B, c_A < c_B$
- $m_A < m_B, c_A < c_B$

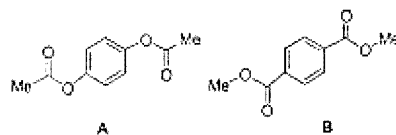
120. Two data sets involving the same variables X and Y are given below

X	4.1	4.2	4.3	4.4	4.5	4.6
Y (Set A)	10.2	10.6	10.9	11.5	11.8	12.2
Y (Set B)	10.2	10.6	11.1	11.3	11.8	12.2

If the slopes and intercepts of the regression lines for the two sets are denoted by (m_A, m_B) and (c_A, c_B), respectively, then

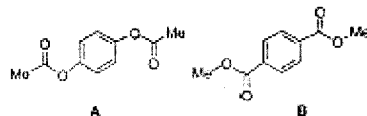
- $m_A > m_B, c_A > c_B$
- $m_A < m_B, c_A > c_B$
- $m_A > m_B, c_A < c_B$
- $m_A < m_B, c_A < c_B$

121. दो यौगिकों A तथा B में से प्रत्येक अपने $^1\text{H NMR}$ स्पेक्ट्रम में दो एकल दर्शाता है। तललिखित रसायनिक दृष्टियों के लिए δ मान हैं।



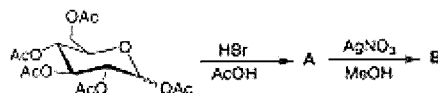
- 6.9 तथा 2.1 A के लिए, 7.7 तथा 3.9 B के लिए
- 7.7 तथा 3.9 A के लिए, 6.9 तथा 2.1 B के लिए
- 6.9 तथा 3.9 A के लिए, 7.7 तथा 2.1 B के लिए
- 7.7 तथा 2.1 A के लिए, 6.9 तथा 3.9 B के लिए

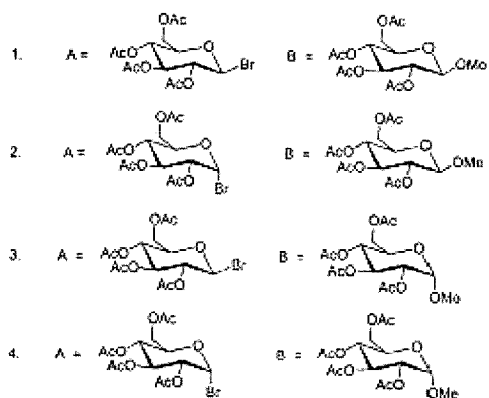
122. Compounds A and B exhibit two singlets, each in their $^1\text{H NMR}$ spectra. The expected chemical shifts are at δ



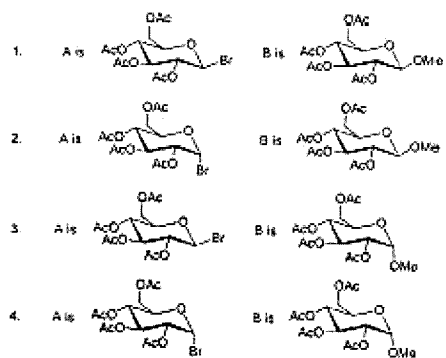
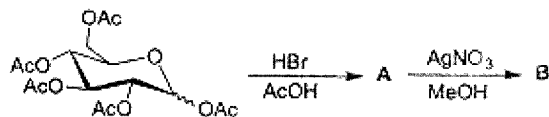
- 6.9 and 2.1 for A; 7.7 and 3.9 for B
- 7.7 and 3.9 for A; 6.9 and 2.1 for B
- 6.9 and 3.9 for A; 7.7 and 2.1 for B
- 7.7 and 2.1 for A; 6.9 and 3.9 for B

122. निम्नलिखित अभिक्रिया अनुक्रम के मुख्य उत्पाद A तथा B हैं।

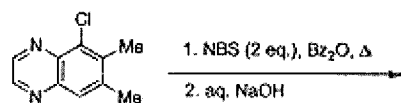


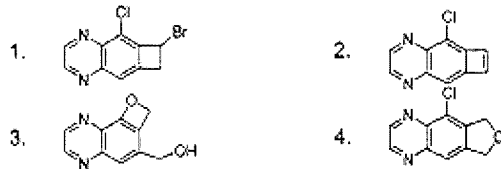


122. In the following reaction sequence, the major products A and B are

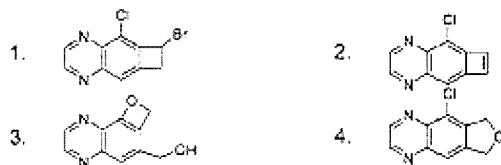
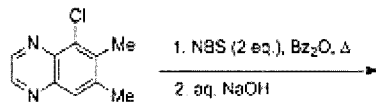


123. त्रिक्रीय यौगिक जो निम्नलिखित दो चरणों के अभिक्रिया अनुक्रम में बनता है, उसकी संरचना है /





123. The structure of the tricyclic compound formed in the following two step sequence is



124. 7-डिहाइड्रो कोलेस्टेरॉल के विटामिन D₃ में द्विपटीय रूपांतरण के लिए प्रक्रम है ।



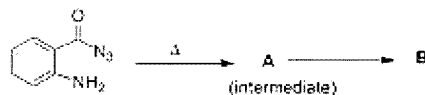
1. फोटो कैमीकल इलेक्ट्रोसाइक्लिक डिस्रोटेटरी रिंग ओपनिंग तथा थर्मल एन्टाफेसियल [1,7]-H शिफ्ट
2. फोटो कैमीकल इलेक्ट्रोसाइक्लिक कोन रोटेटरी रिंग ओपनिंग तथा थर्मल एन्टाफेसियल [1,7]-H शिफ्ट
3. थर्मल इलेक्ट्रोसाइक्लिक कोन रोटेटरी रिंग ओपनिंग तथा फोटो कैमीकल सुप्राफेसियल [1,7]-H शिफ्ट
4. थर्मल इलेक्ट्रोसाइक्लिक डिस्रोटेटरी रिंग ओपनिंग तथा थर्मल सुप्राफेसियल [1,7]-H शिफ्ट

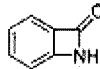
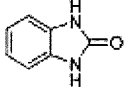
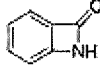
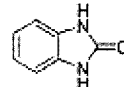
124. The two step conversion of 7-dehydrocholesterol to vitamin D₃ proceeds through



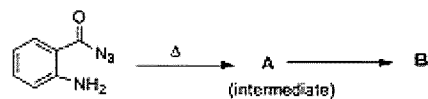
1. photochemical electrocyclic disrotatory ring opening; and thermal antarafacial [1,7]-H shift.
2. photochemical electrocyclic conrotatory ring opening; and thermal antarafacial [1,7]-H shift.
3. thermal electrocyclic conrotatory ring opening; and photochemical suprafacial [1,7]-H shift.
4. thermal electrocyclic disrotatory ring opening; and thermal suprafacial [1,7]-H shift.

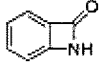
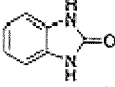
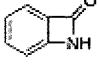
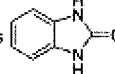
125. निम्नलिखित अभिक्रिया में मध्यवर्ती A तथा मुख्य उत्पाद B हैं



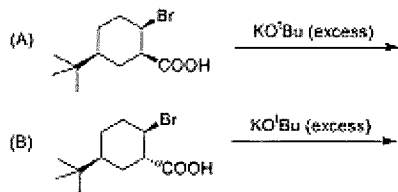
1. A ऐंजिल अनायन है ; B = 
2. A ऐंजिल अनायन है ; B = 
3. A ऐंजिल नाइट्रोन है ; B = 
4. A ऐंजिल नाइट्रोन है ; B = 

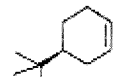
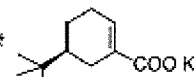
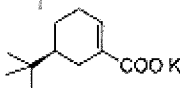
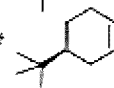
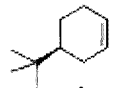
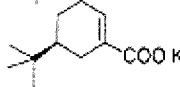
125. The intermediate A and the major product B in the following reaction are



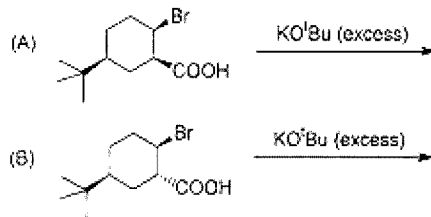
1. A is acyl cation; B is 
2. A is acyl cation; B is 
3. A is acyl nitrene; B is 
4. A is acyl nitrene; B is 

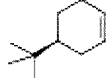
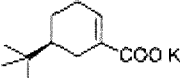
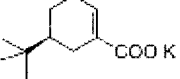
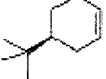
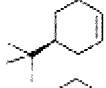
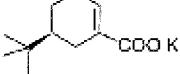
126. निम्नलिखित दो अभिक्रियाओं A तथा B के लिए सही उत्तर है



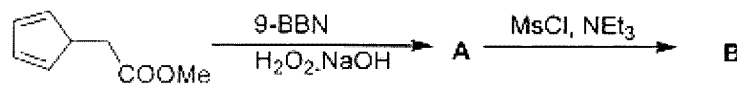
1. **A** देती है  **B** देती है 
2. **A** देती है  **B** देती है 
3. **A** तथा **B** दोनों देती हैं 
4. **A** तथा **B** दोनो देती हैं 

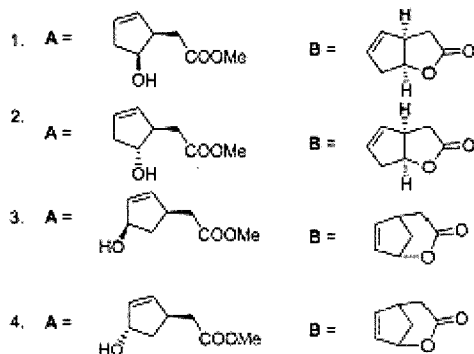
126. For the following two reactions A and B, the correct statement is



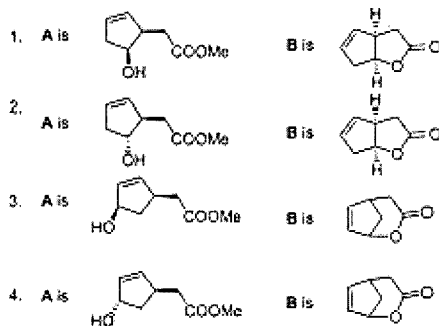
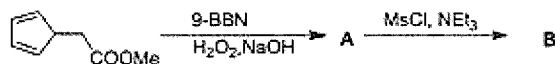
1. **A** gives  **B** gives 
2. **A** gives  **B** gives 
3. both **A** and **B** give 
4. both **A** and **B** give 

127. निम्नलिखित अभिक्रिया अनुक्रम में बनने वाला मुख्य यौगिक **B**, IR स्पेक्ट्रम में 1770 cm^{-1} पर कार्बोनिल अवशोषण बैंड दर्शाता है। **A** तथा **B** की संरचनाओं में है।

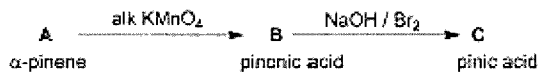




127. The major compound **B** formed in the reaction sequence given below exhibited a carbonyl absorption band at 1770 cm^{-1} in the IR spectrum. The structures **A** and **B** are



128. निम्नलिखित मोनोटर्पीन α -पइनोन से प्रारंभ हुए अभिक्रिया अनुक्रमों पर विचार करिए और सही कथन का अभिनिर्धारण कीजिए



- A** में द्विप्रतिस्थापित द्विआबन्ध है, **B** और **C** डाइकार्बोक्सिलिक अम्ल हैं ।
- A** में त्रिप्रतिस्थापित द्विआबन्ध है, **B** मेथिल कीटोन तथा **C** डाइकार्बोक्सिलिक अम्ल है ।
- A** में द्विप्रतिस्थापित द्विआबन्ध है, **B** मेथिल कीटोन है तथा **C** एक डाइ कार्बोक्सिलिक अम्ल है ।
- A** में साहाय्यक द्विआबन्ध है, **B** तथा **C** मोनो कार्बोक्सिलिक अम्ल हैं ।

128. Consider the following reaction sequence starting with monoterpene α -pinene. Identify the correct statement.



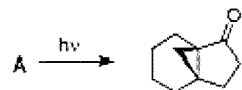
1. A has a disubstituted double bond; B and C are dicarboxylic acids.
 2. A has a trisubstituted double bond; B is a methyl ketone; and C is a dicarboxylic acid.
 3. A has a disubstituted double bond; B is a methyl ketone; and C is a dicarboxylic acid.
 4. A has an exocyclic double bond; B and C are monocarboxylic acids.
129. (3R,4S)-3,4-डाइमेथिल हेक्सा-1,5- डाइईन को 240 °C पर गर्म करने को मुख्य उत्पाद बनता है, वह है ।

1. (2Z,6Z)-ऑक्टा-2,6-डाइईन
2. (2E,6E)-ऑक्टा-2,6-डाइईन
3. (2E,6Z)-ऑक्टा-2,6-डाइईन
4. (3Z,5E)-ऑक्टा-3,5-डाइईन

129. The major product formed when (3R,4S)-3,4-dimethylhexa-1,5-diene is heated at 240 °C is

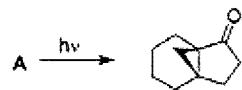
1. (2Z,6Z)-octa-2,6-diene
2. (2E,6E)-octa-2,6-diene
3. (2E,6Z)-octa-2,6-diene
4. (3Z,5E)-octa-3,5-diene

130. निम्नलिखित प्रकार का रासायनिक नॉर्रिश अभिक्रिया में आरंभिक पदार्थ A की संरचना है ।

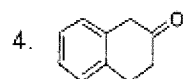
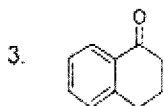
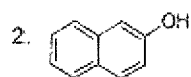
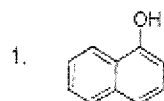


- 1.
- 2.
- 3.
- 4.

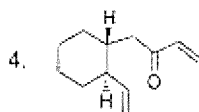
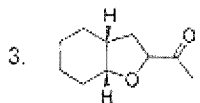
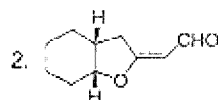
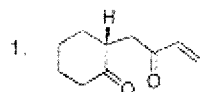
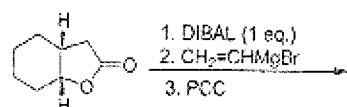
130. Structure of the starting material A in the following photochemical Norrish reaction, is



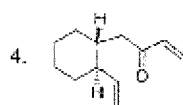
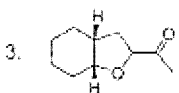
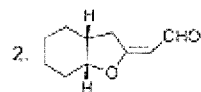
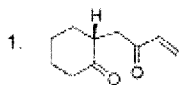
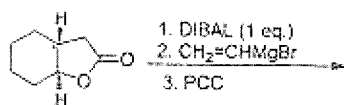
- 1.
- 2.
- 3.
- 4.



133. निम्नलिखित अभिक्रिया अनुक्रम से बना मुख्य उत्पाद है।



133. The major product formed in the following reaction sequence is



134. निम्नलिखित का मिलान कीजिए

योगिक

^{13}C NMR सत्यापनिक स्थिति (δ ppm)

- | | |
|---------------------------|-----------|
| (a) ऐसीटिक अम्ल | (i) 95 |
| (b) एसीटोफॉर्मिक अम्ल | (ii) 115 |
| (c) एसीटोन | (iii) 175 |
| (d) कार्बन टेट्राक्लोराइड | (iv) 205 |

- | | |
|-----------------------|------------------|
| 1. (a)-(iii) (b)-(ii) | (c)-(iv) (d)-(i) |
| 2. (a)-(iii) (b)-(iv) | (c)-(i) (d)-(ii) |

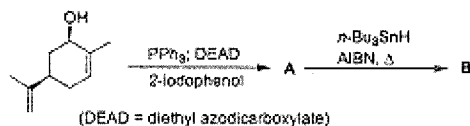
3. (a)-(i) (b)-(ii) (c)-(iv) (d)-(ii)
 4. (a)-(iii) (b)-(i) (c)-(ii) (d)-(iv)

134. Match the following:

	compound	^{13}C NMR chemical shift (δ ppm)
(a)	acetic acid	(i) 95
(b)	acetonitrile	(ii) 115
(c)	acetone	(iii) 175
(d)	carbon tetrachloride	(iv) 205

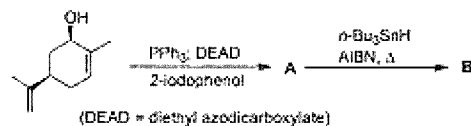
1. (a)-(iii) (b)-(ii) (c)-(iv) (d)-(i)
 2. (a)-(iii) (b)-(iv) (c)-(i) (d)-(ii)
 3. (a)-(i) (b)-(ii) (c)-(iv) (d)-(ii)
 4. (a)-(iii) (b)-(i) (c)-(ii) (d)-(iv)

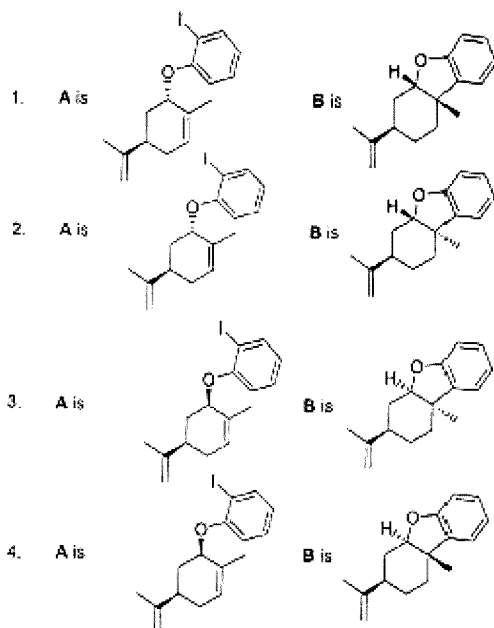
135. निम्नलिखित अभिक्रिया अनुक्रम में मुख्य उत्पाद A तथा B हैं।



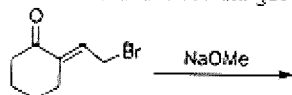
1. A = B =
2. A = B =
3. A = B =
4. A = B =

135. The major products A and B in the following reaction sequence are

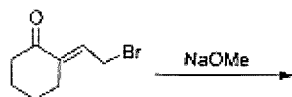




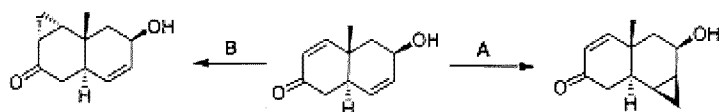
136. निम्नलिखित अभिक्रिया में बनने वाला मुख्य उत्पाद है।



136. The major product formed in the following reaction is

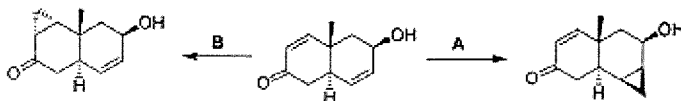


137. निम्नलिखित अभिक्रिया के लिए मुख्य अभिकर्मक A तथा B हैं ।



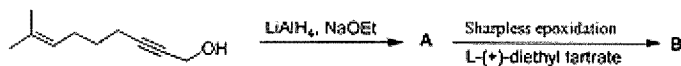
- | | |
|--|---|
| 1. A = CH_2I_2 , Zn-Cu; | B = $\text{Me}_3\text{S}^+\text{I}^-$, NaH |
| 2. A = CH_2I_2 , Zn-Cu; | B = $\text{Me}_3\text{S}^+(\text{O})\text{I}^-$, NaH |
| 3. A = $\text{Me}_3\text{S}^+\text{I}^-$, NaH; | B = $\text{Me}_3\text{S}^+(\text{O})\text{I}^-$, NaH |
| 4. A = $\text{Me}_3\text{S}^+(\text{O})\text{I}^-$, NaH | B = CH_2I_2 , Zn-Cu |

137. The reagents A and B in the following reactions are



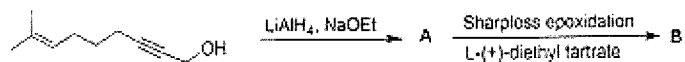
- | | |
|--|---|
| 1. A = CH_2I_2 , Zn-Cu; | B = $\text{Me}_3\text{S}^+\text{I}^-$, NaH |
| 2. A = CH_2I_2 , Zn-Cu; | B = $\text{Me}_3\text{S}^+(\text{O})\text{I}^-$, NaH |
| 3. A = $\text{Me}_3\text{S}^+\text{I}^-$, NaH; | B = $\text{Me}_3\text{S}^+(\text{O})\text{I}^-$, NaH |
| 4. A = $\text{Me}_3\text{S}^+(\text{O})\text{I}^-$, NaH | B = CH_2I_2 , Zn-Cu |

138. निम्नलिखित अभिक्रिया अनुक्रम में बनने वाले मुख्य उत्पाद A तथा B हैं ।



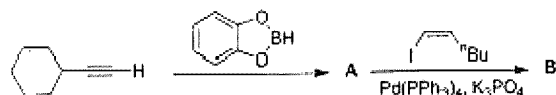
- | | |
|--------|-----|
| 1. A = | B = |
| 2. A = | B = |
| 3. A = | B = |
| 4. A = | B = |

138. The major products A and B formed in the following reaction sequence are



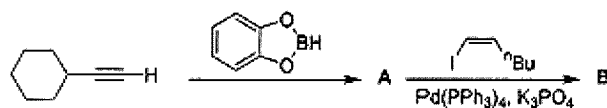
1. A = B =
2. A = B =
3. A = B =
4. A = B =

139. निम्नलिखित अभिक्रिया अनुक्रम में बनने वाले मुख्य उत्पाद A तथा B हैं।



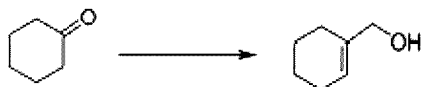
1. A = B =
2. A = B =
3. A = B =
4. A = B =

139. The major products **A** and **B** formed in the following reaction sequence are



1. **A** is **B** is
 2. **A** is **B** is
 3. **A** is **B** is
 4. **A** is **B** is

140. निम्नलिखित रूपान्तरण करने के लिए सही अभिकर्मकों का संयोग/अभिक्रिया अनुक्रम है।



1. (a) $\text{Me}_3\text{SiCH}_2\text{OMe}$, $^t\text{BuLi}$; (b) H_3O^+ ; (c) NaBH_4 , MeOH
 2. (a) $\text{Ph}_3\text{P}^+\text{CH}_2\text{OMe Cl}^-$, $^t\text{BuLi}$; (b) H_3O^+ ; (c) NaBH_4 , MeOH
 3. (a) NH_2NHTs ; (b) NaOEt ; (c) ClCOOEt
 4. (a) NH_2NHTs ; (b) 2 eq. $^t\text{BuLi}$; (c) HCHO

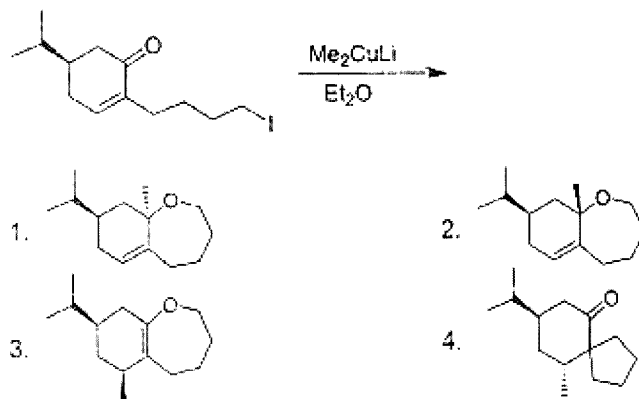
140. The correct reagent combination / reaction sequence for effecting the following conversion is



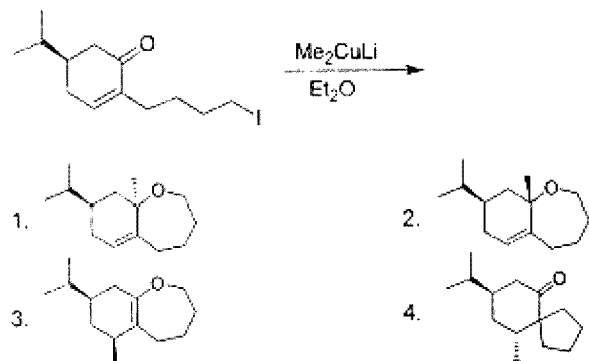
1. (a) $\text{Me}_3\text{SiCH}_2\text{OMe}$, $^t\text{BuLi}$; (b) H_3O^+ ; (c) NaBH_4 , MeOH
 2. (a) $\text{Ph}_3\text{P}^+\text{CH}_2\text{OMe Cl}^-$, $^t\text{BuLi}$; (b) H_3O^+ ; (c) NaBH_4 , MeOH
 3. (a) NH_2NHTs ; (b) NaOEt ; (c) ClCOOEt
 4. (a) NH_2NHTs ; (b) 2 eq. $^t\text{BuLi}$; (c) HCHO

AH

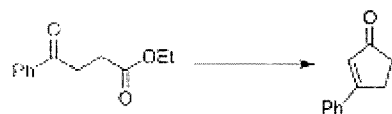
141. निम्नलिखित अभिक्रिया में क्या मुख्य उत्पाद है ।



141. The major product formed in the following reaction is



142. निम्नलिखित रजतकरण करने के लिए अभिकर्मकों का सही अनुक्रम है ।



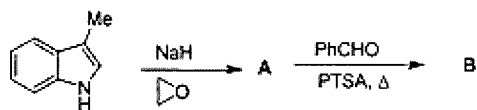
- (a) $(\text{CH}_3\text{OH})_2$, PTSA, Δ ; (b) $\text{Cp}_2\text{Ti}(\text{Cl})\text{AlMe}_2$ (Tebbe's अभिकर्मक); (c) H_3O^+ ; (d) KOH
- (a) $(\text{CH}_3\text{OH})_2$, PTSA, Δ ; (b) $\text{Ph}_3\text{P}=\text{CH}_2$; (c) H_3O^+ ; (d) KOH
- (a) $\text{Cp}_2\text{Ti}(\text{Cl})\text{AlMe}_2$ (Tebbe's अभिकर्मक); (b) H_3O^+ ; (c) KOH
- (a) $\text{Ph}_3\text{P}=\text{CH}_2$; (b) H_3O^+ ; (c) KOH

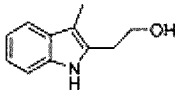
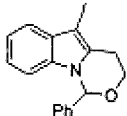
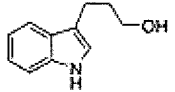
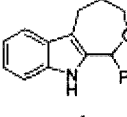
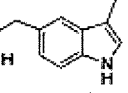
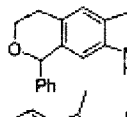
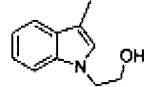
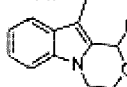
142. The correct sequence of reagents for effecting the following conversion is



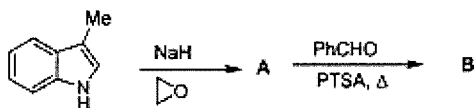
- (a) $(\text{CH}_2\text{OH})_2$, PTSA, Δ ; (b) $\text{Cp}_2\text{Ti}(\text{Cl})\text{AlMe}_2$ (Tebbe's reagent); (c) H_3O^+ ; (d) KOH
- (a) $(\text{CH}_2\text{OH})_2$, PTSA, Δ ; (b) $\text{Ph}_3\text{P}=\text{CH}_2$; (c) H_3O^+ ; (d) KOH
- (a) $\text{Cp}_2\text{Ti}(\text{Cl})\text{AlMe}_2$ (Tebbe's reagent); (b) H_3O^+ ; (c) KOH
- (a) $\text{Ph}_3\text{P}=\text{CH}_2$; (b) H_3O^+ ; (c) KOH

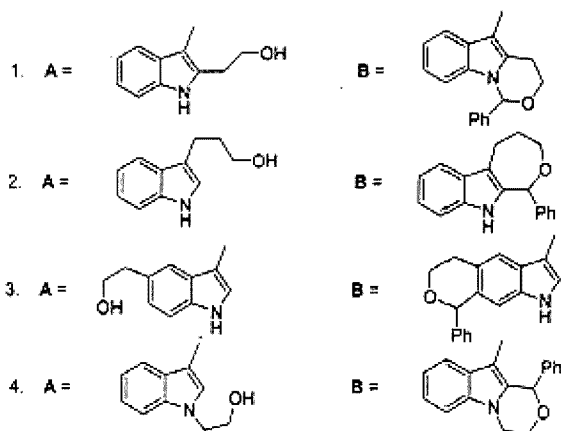
143. निम्नलिखित अभिक्रिया अनुक्रम के मुख्य उत्पाद A तथा B हैं।



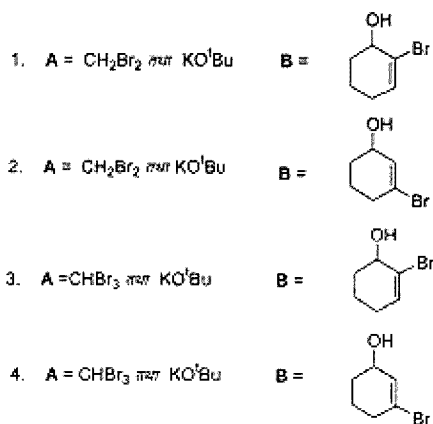
- A =  B = 
- A =  B = 
- A =  B = 
- A =  B = 

143. The major products A and B formed in the following reaction sequence are

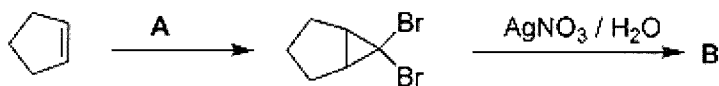


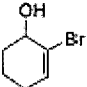
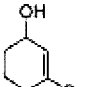
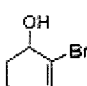
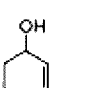


144. निम्नलिखित अभिक्रिया अनुक्रम में आवश्यक अभिकर्मक A तथा बनने वाला मुख्य उत्पाद B है।



144. The reagent A required, and the major product B formed in the following reaction sequence are



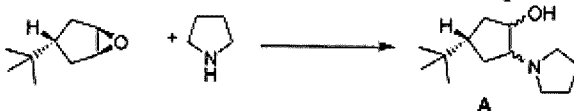
1. $A = \text{CH}_2\text{Br}_2$ तथा KO^tBu $B =$ 
2. $A = \text{CH}_2\text{Br}_2$ तथा KO^tBu $B =$ 
3. $A = \text{CHBr}_3$ तथा KO^tBu $B =$ 
4. $A = \text{CHBr}_3$ तथा KO^tBu $B =$ 

145. निम्नलिखित विकल्पों में से A के लिए, जो कि निम्नलिखित अभिक्रिया में बनता है, सही कथन है।



1. A एक एकल एनैन्टिओमर है।
2. A एक रेसिमिक मिश्रण है।
3. A दो अप्रतिबिंबी त्रिविम समावयकों का मिश्रण है।
4. A दो एपीमरों का मिश्रण है।

145. Among the choices, the correct statement for A formed in the following reaction



1. A is a single enantiomer
2. A is a racemic mixture
3. A is a mixture of two diastereomers
4. A is a mixture of two epimers